

A photograph showing a man in a blue shirt and cap driving a large wooden cart with two large wheels. Two oxen are harnessed to the cart, pulling it along a dirt road. The background features lush green trees and a simple building under a clear blue sky.

# Aprendizaje por refuerzo como técnica alternativa para la obtención de una Política de Operación y Sala MERCOSUR

Curso SimSEE edición 2024

Ing. Ruben Chaer  
IIE – FING – UDELAR  
Montevideo – Uruguay

$$X(t) = \begin{bmatrix} x_1 \\ x_2 \\ \dots \\ x_n \end{bmatrix}$$

## Estado del Sistema

Vector de información que captura lo relevante del pasado del sistema.



## Ecuación de evolución del Estado:

$$X_{k+1} = f(X_k, u_k, r_k, k)$$

## Costo de etapa:

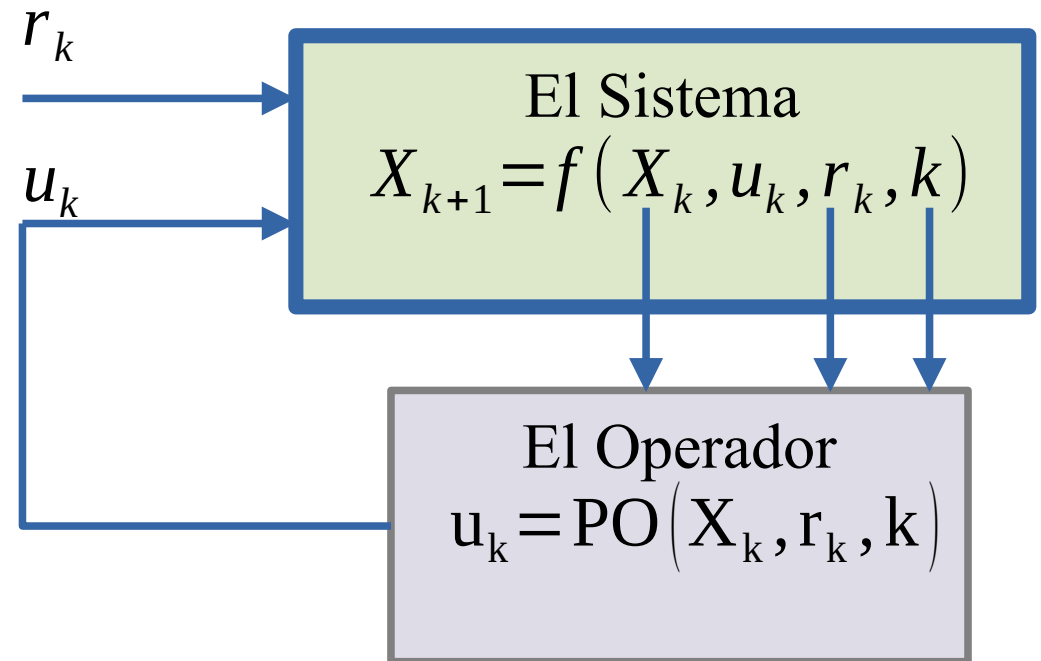
$$c_k = c(X_k, r_k, u_k, k)$$

## Costo Futuro:

$$CF(X, k) = \left\langle \sum_{h=k}^{\infty} q^{h-k} c_h \right\rangle_{R,U}$$

A cartoon illustration of Homer Simpson from the TV show 'The Simpsons'. He is wearing a white shirt and tie, and is seated at a complex control panel with many buttons and screens. He has a determined expression and is looking down at the controls. In the background, there's a blue wall with a small hanging decoration.

# El Operador y la Política de Operación



# Las decisiones se vinculan temporalmente.

El uso de los recursos almacenados (agua) hoy reduce los costos operativos del **presente** pero aumenta los costos operativos del **futuro**; y viceversa.

Una Política Óptima reduce el valor esperado del costo de operación futura del sistema.

Una Política Óptima equilibra los efectos de las acciones sobre los costos futuros y presentes.



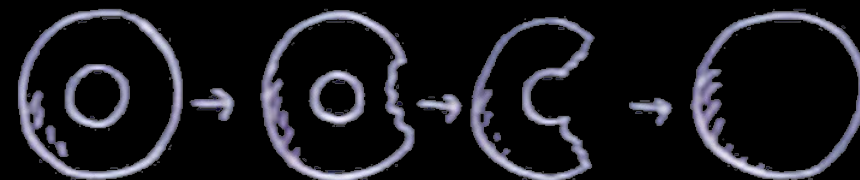


*El Costo Futuro*

$$CF(X, k) = \left\langle \sum_{h=k}^{\infty} q^{h-k} c_h \right\rangle_{R,U}$$

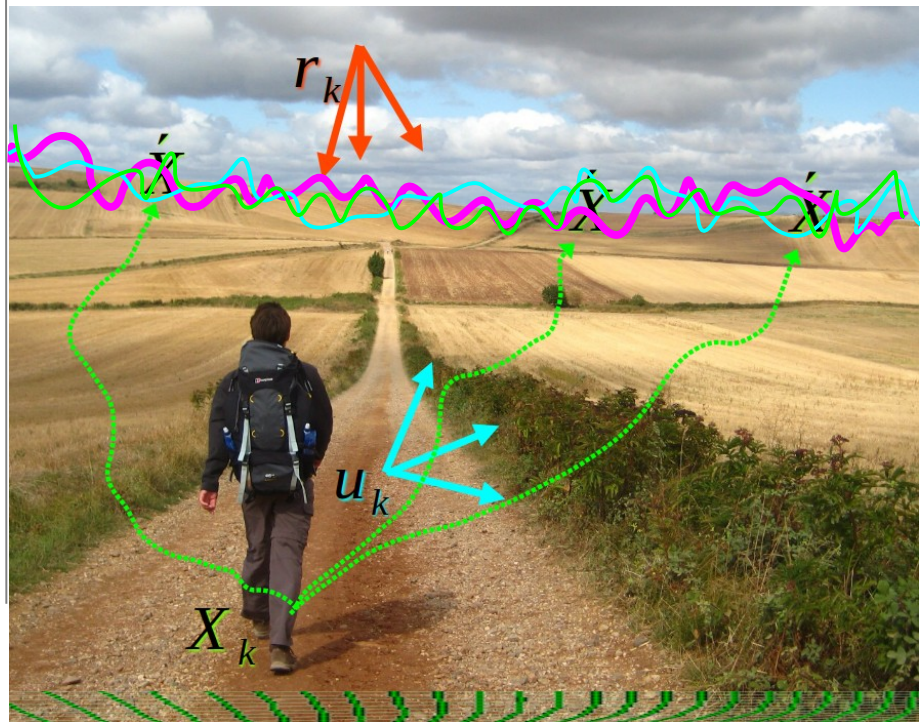
*Política Óptima*

$$\min_{OP} \left\langle CF(X, k) \right\rangle_R$$

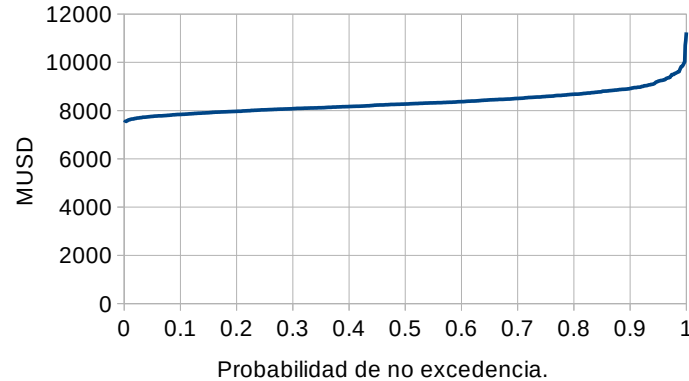




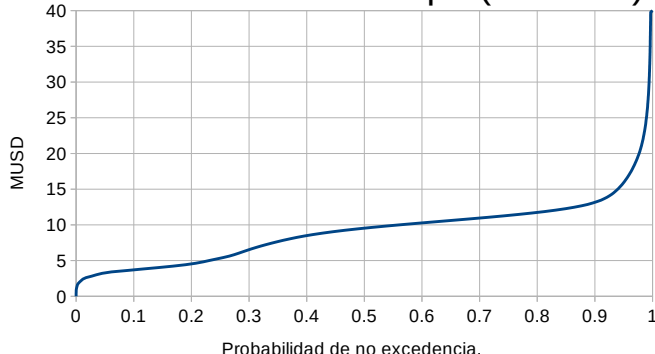
Por qué son necesarias las técnicas de reducción de la varianza.  
Simulación 1000 crónicas con paso de tiempo semanal de Uruguay.



Distribución CF(X) - Uruguay



Distribución del costo de etapa (semanal).

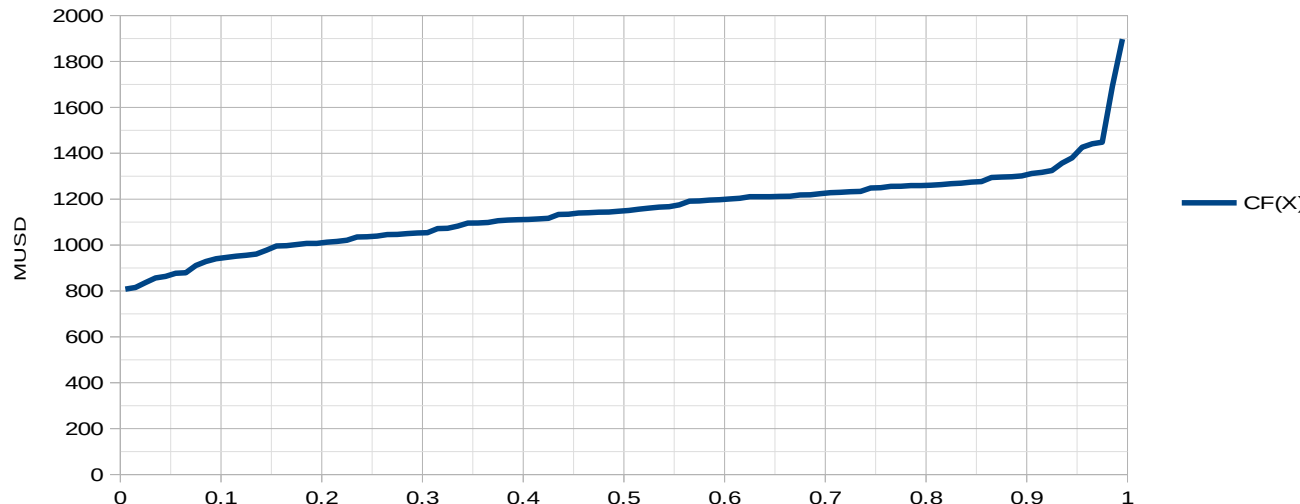


# Simulaciones de Montecarlo varianza del valor esperado de la diferencia.

$$\langle (a - b)^2 \rangle = \langle a^2 \rangle + \langle b^2 \rangle - 2 \langle ab \rangle$$

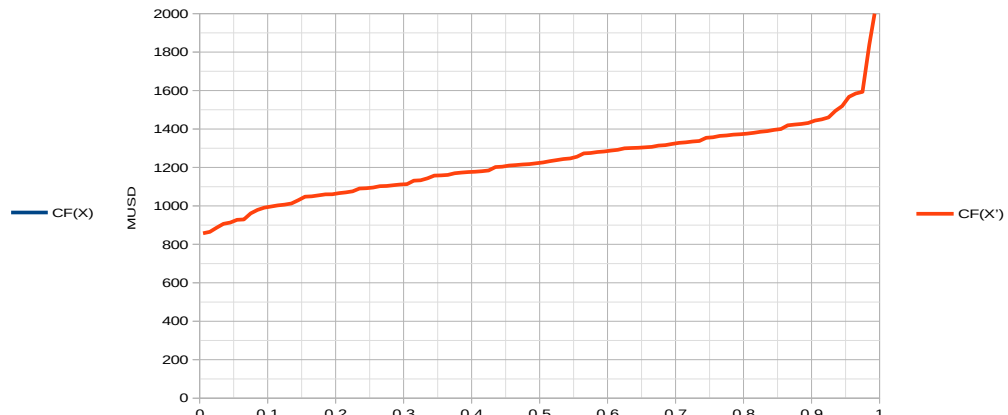
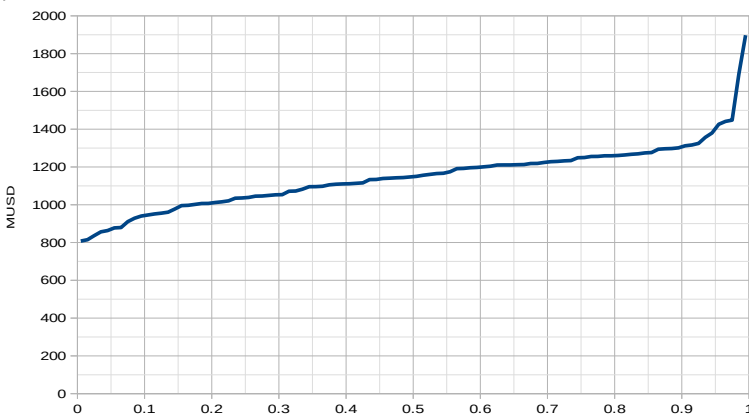
Permanencia del Costo Futuro.

Programación Estacional Nov.2021 - ADME



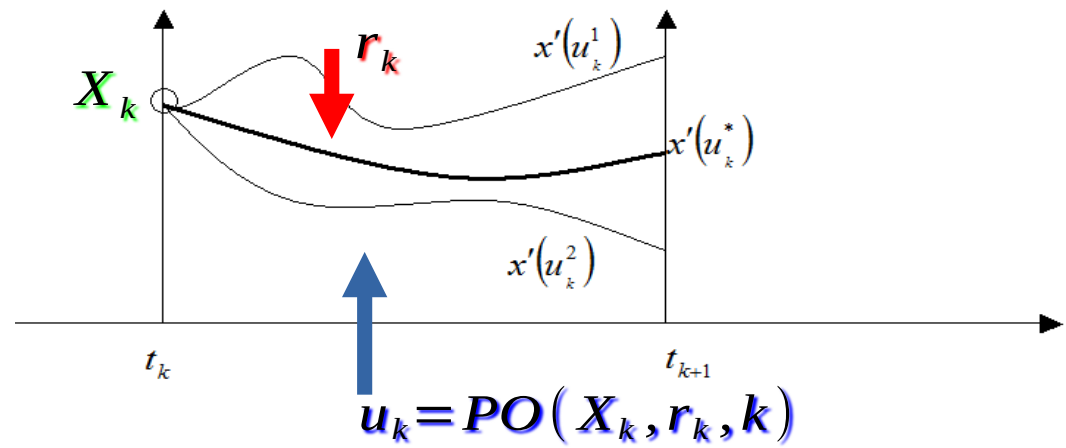
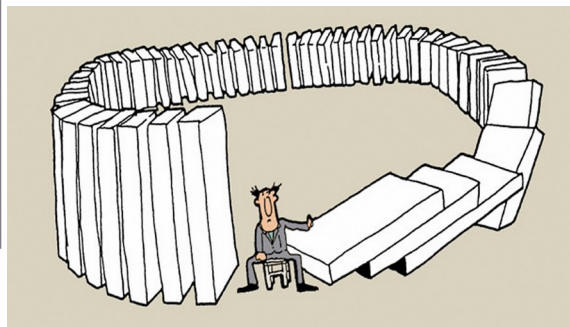
# Common Random Numbers.

## Técnica de reducción de la varianza de la esperanza de la diferencia.

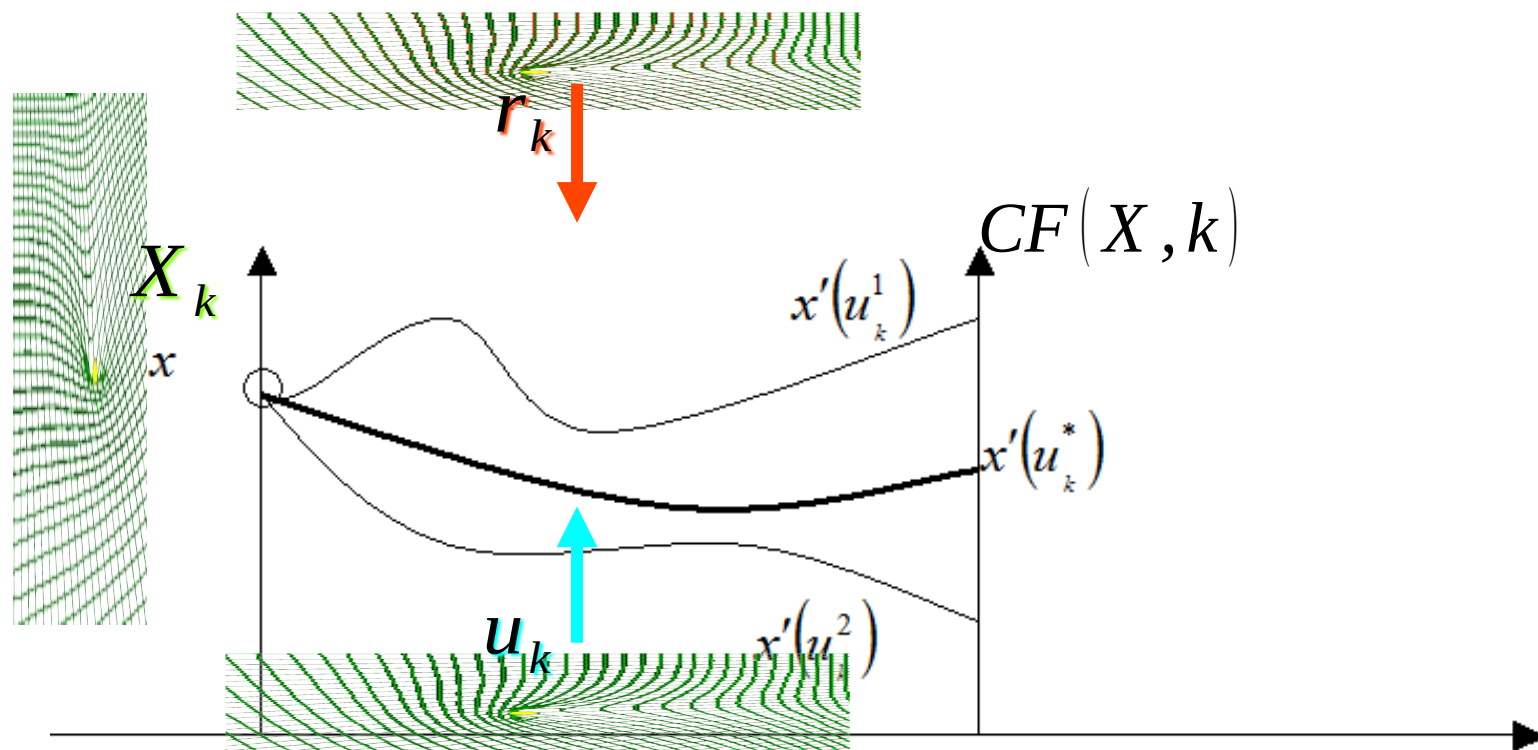
$$\langle (a - b)^2 \rangle = \langle a^2 \rangle + \langle b^2 \rangle - 2 \langle ab \rangle$$


# PO\_Optima = Minimizar el valor esperado del Costo Futuro

$$u_k : \min_{u_k} \left\{ ce(X, u_k, r_k, k) + q CF(X_{k+1}) \right\}$$



# La Maldición de la Dimensionalidad de Bellman



$$\text{Dim}(u) \times N_{X_1} \times N_{X_2} \dots \times N_{X_{\text{Dim}(X)}} \times N_{r_1} \times N_{r_2} \dots \times N_{r_{\text{Dim}(r)}} \times N_t$$



# Agregaciones Clásicas



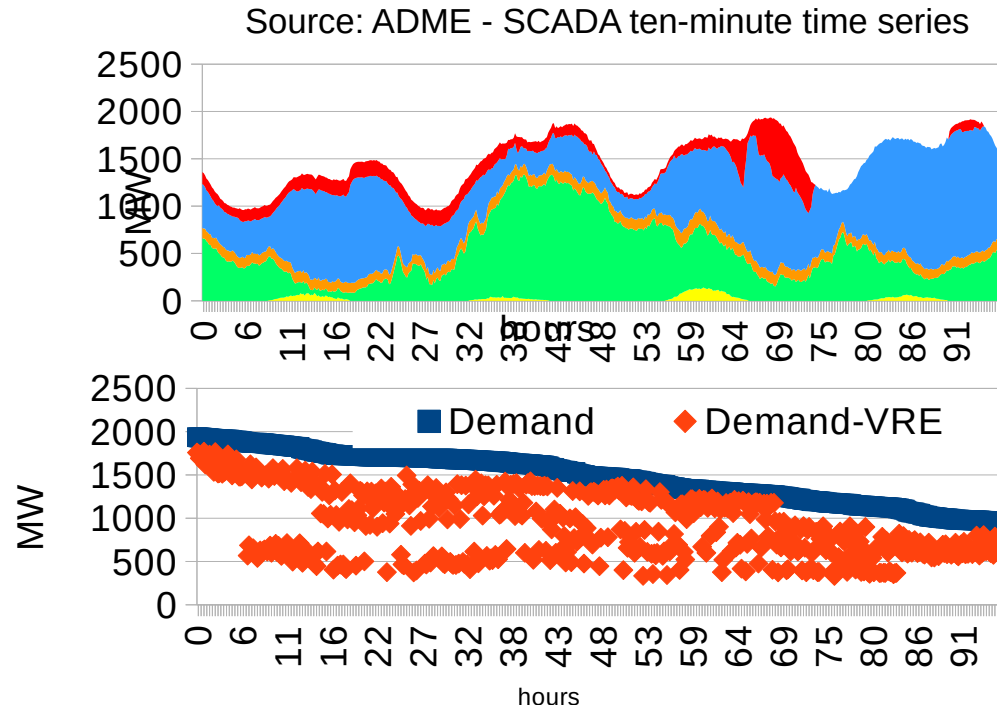
- Encadenamiento de optimizaciones con diferente horizonte y paso temporal (meses, semanas, días, horas).  
Largo\_Plazo, Mediano\_Plazo y Corto\_Plazo.  
En el Largo plazo se consideran como variables de estado las PESADAS y se van agregando variables en el Mediano y en el Corto Plazo.
- En SimSEE con los CEGHs, posibilidad de reducción del estado de los procesos estocásticos.
- Subidivisión del paso de tiempo en POSTES, Bandas Horarias o PATAMARES.

## Reorganización de las horas del paso en BLOQUES HORARIOS

Postes (UY), Bandas Horarias (AR), Patamaras (BR)

... tiene sentido usar la Monótona de Carga?

Solo un ejemplo, 4 días cualquiera de julio-2018-Uruguay





## SimSEE utiliza **Postizado-Dinámico**

En cada paso de tiempo, se crea la Demanda Neta con detalle horario sumando todas las demandas y restando las energías no-gestionables y en base a la monótona de la Demanda Neta se definen los POSTES para la resolución del paso.

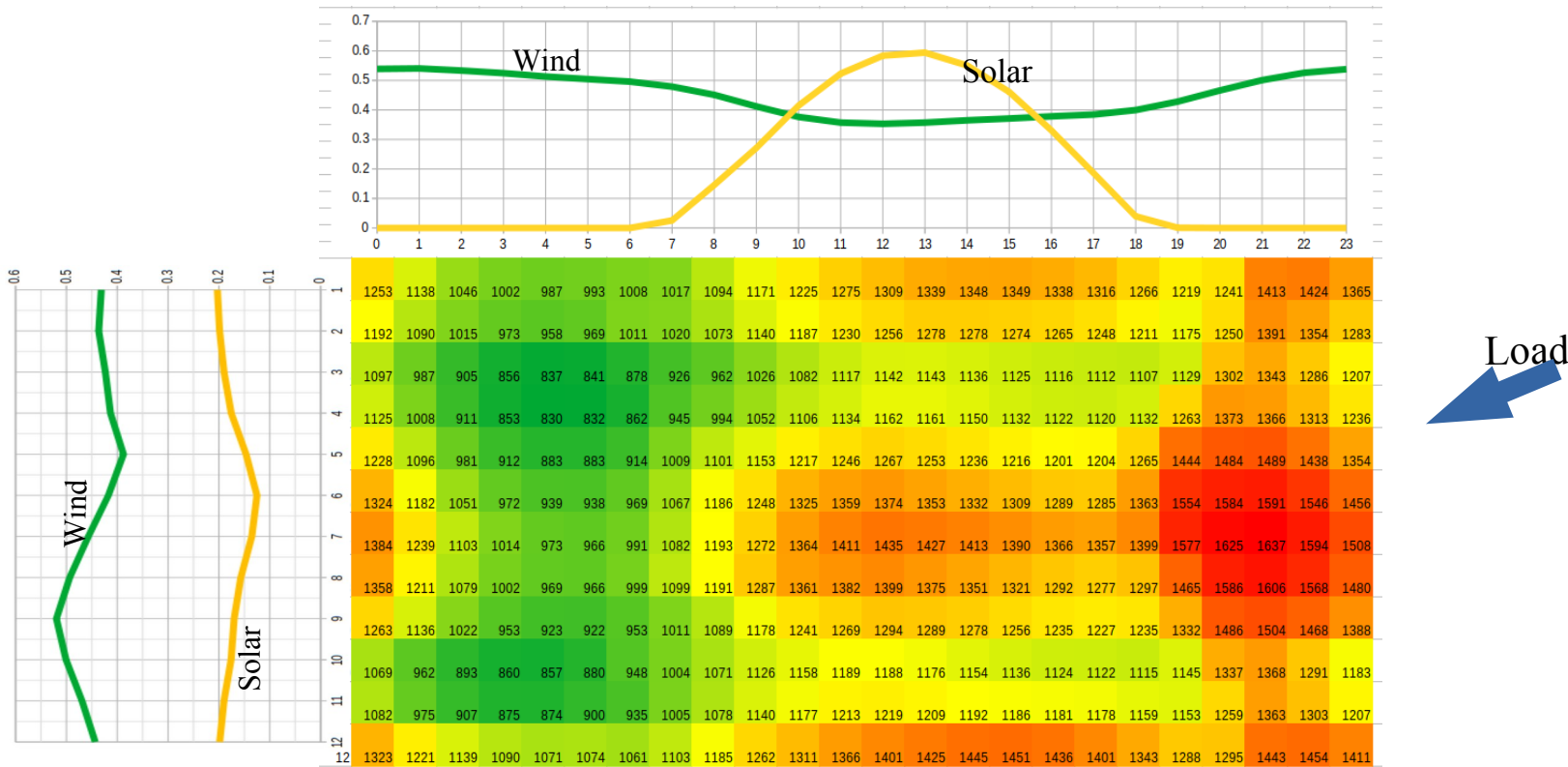
# Modelado de la incertidumbre ( Procesos Estocásticos )



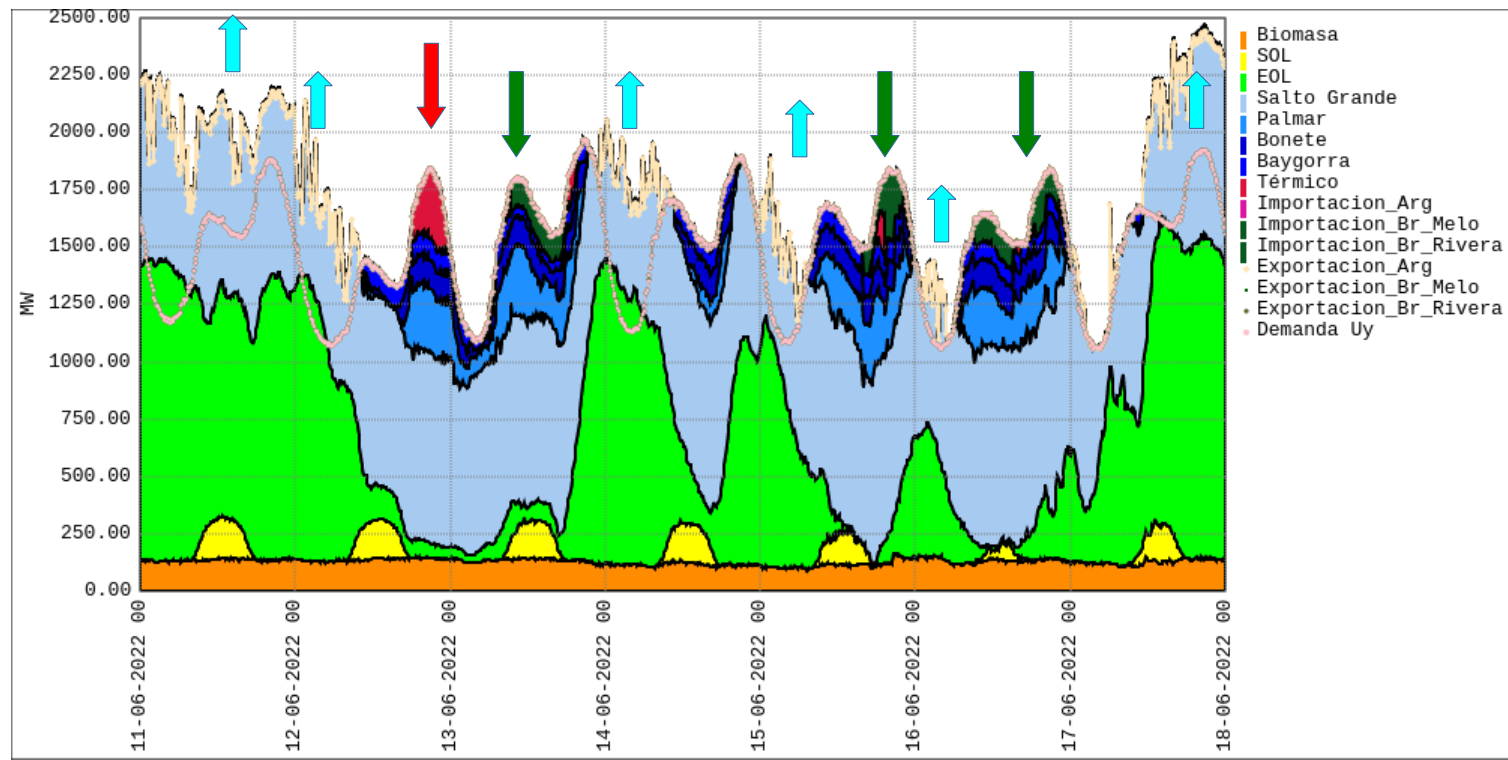


# Fuentes de aleatoriedad

- Demanda
- Caudales de aportes hídricos
- Velocidad del viento
- Radiación solar
- Precio de los mercados vecinos
- Precios de los combustibles
- Disponibilidad de combustibles
- Roturas fortuitas



# Ejemplo: Importancia de los INTERCAMBIOS OCASIONALES.



# Fundamentos del CEGH.

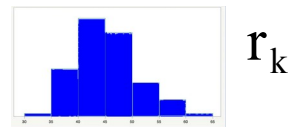
Dado un conjunto de series de datos, como ser caudales medios semanales a las represas.

¿Cómo introducir esa aleatoriedad en las simulaciones?.

¿Cómo generar series sintéticas con iguales características que las series de datos?

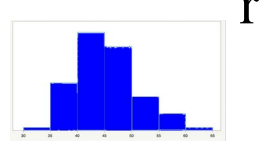
# ¿Qué es importante representar en el modelo?

Histogramas de amplitud:

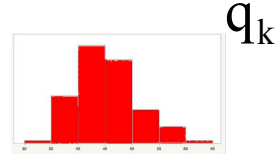


$r_k$

Correlaciones espaciales:

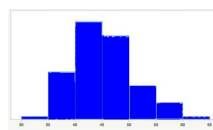


$r_k$

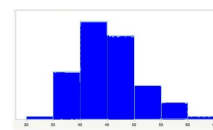


$q_k$

Correlaciones temporales:



$r_{k-h}$



$r_k$

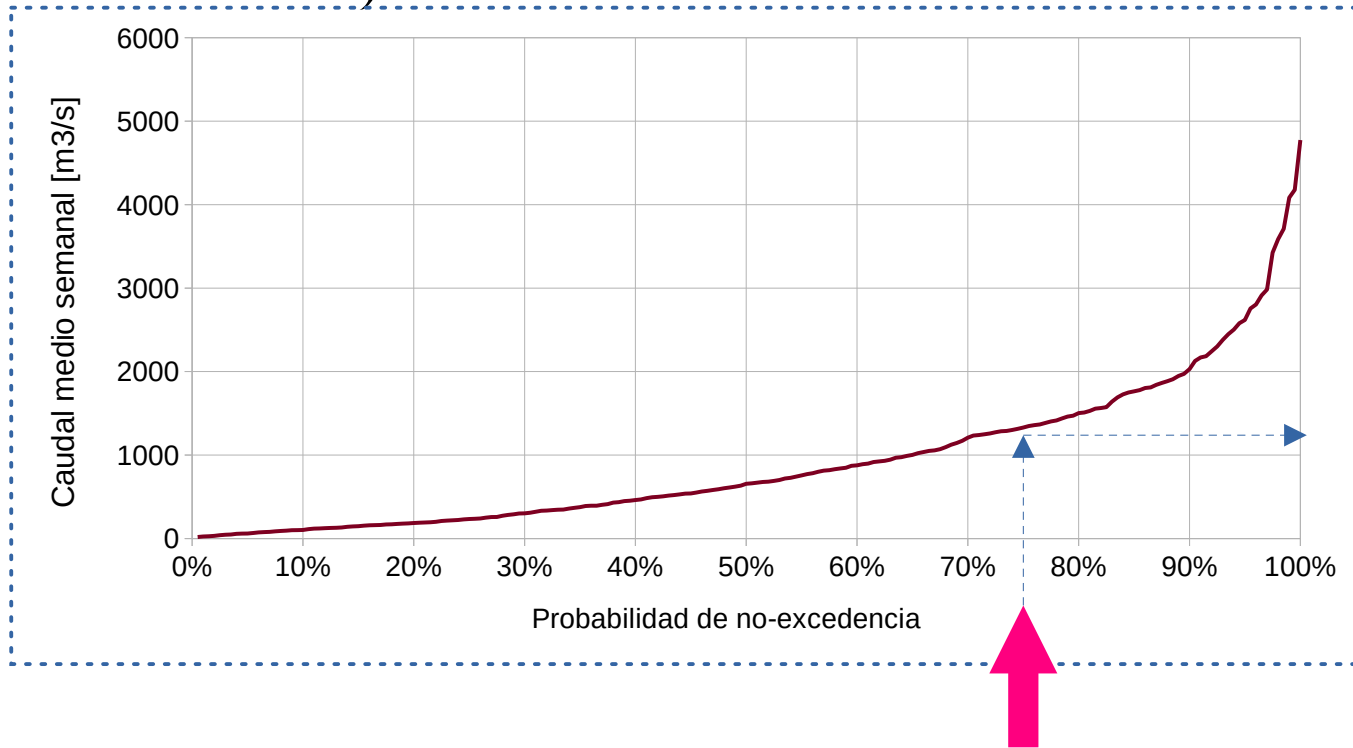




## • Series históricas. (SIN ESTADO!)

- Simplemente suponer que esas series históricas de medidas se repiten y ver cómo se comporta el sistema con esas entradas.
- Si durante el proceso de Optimización se utiliza una serie determinística el optimizador calculará la política óptima conociendo el Futuro. En la realidad no podrá operar así, porque seguramente no se repita el pasado Tal Cual.

- Ruido Blanco en base a la distribución histórica.  
**(SIN ESTADO!)**



Generador de números pseudo-aleatorios  $U(0,1)$

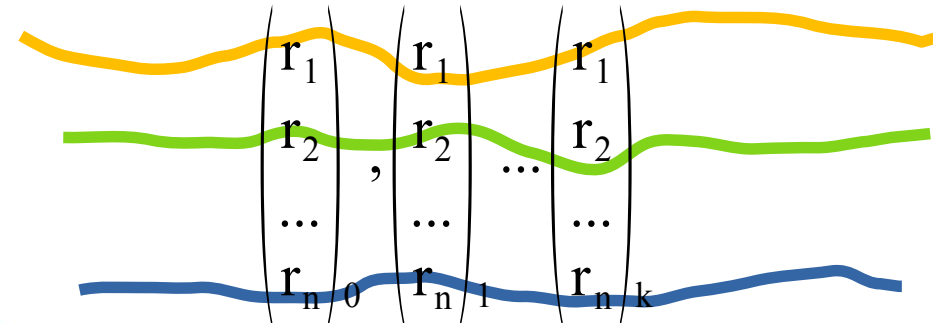
# Herramientas disponibles

- Terrible arsenal para tratamiento de sistemas lineales invariantes en el tiempo.
- Algunos resultados aplicables a procesos ergódicos.
- Algunos resultados sobre procesos gaussianos.



# Proceso estocástico

Un conjunto de variables aleatorias variando en el tiempo.



- Medidas de probabilidad

$$m(x) : R^n \rightarrow R^m$$

La forma de realizar medidas de probabilidad es mediante la integral de una función ponderada por la función densidad de probabilidad.

$$\langle m(x) \rangle_x = \int_{\theta \in R^n} m(\theta) \cdot p_x(\theta) dV_\theta$$

Para realizar entonces cualquier cuantificación probabilística es necesario conocer la función de densidad de probabilidad.

$$p_x(\theta)$$

# Ejemplos de medidas de probabilidad

Valor Esperado

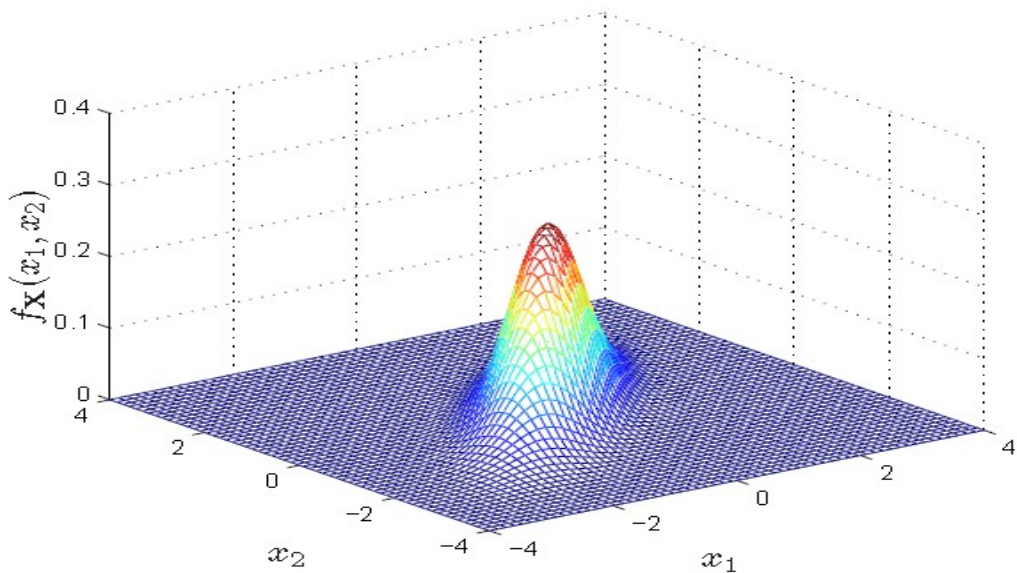
$$E(x) = \langle x \rangle_x = \int_{\theta \in R^n} x \cdot p_x(\theta) dV_\theta$$

Matriz de covarianzas

$$\Sigma_{xx} = \left\langle (x - E(X))(x - E(X))^T \right\rangle_x$$

# FDP Gaussiana

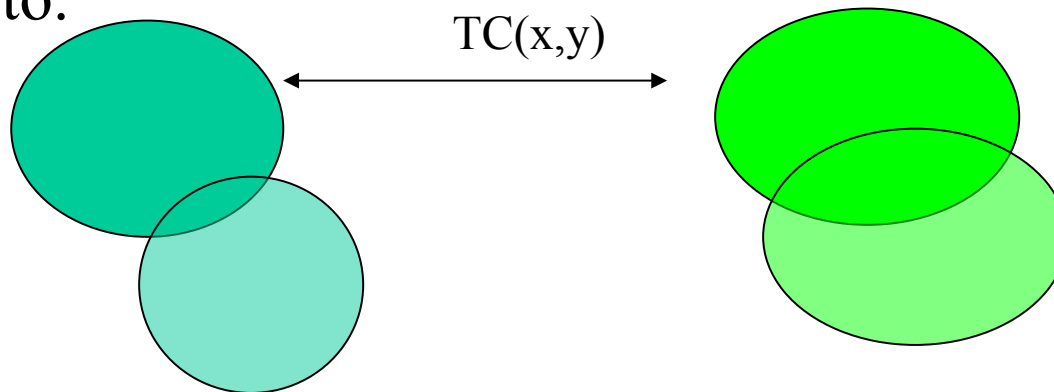
$$p_X(X) = \frac{1}{\sqrt{(2\pi)^N \cdot |\Sigma|}} \cdot e^{-\left(\frac{1}{2} X^T \Sigma^{-1} X\right)}$$



$$\Sigma = \langle X \cdot X^T \rangle$$

# Transformaciones Compactas.

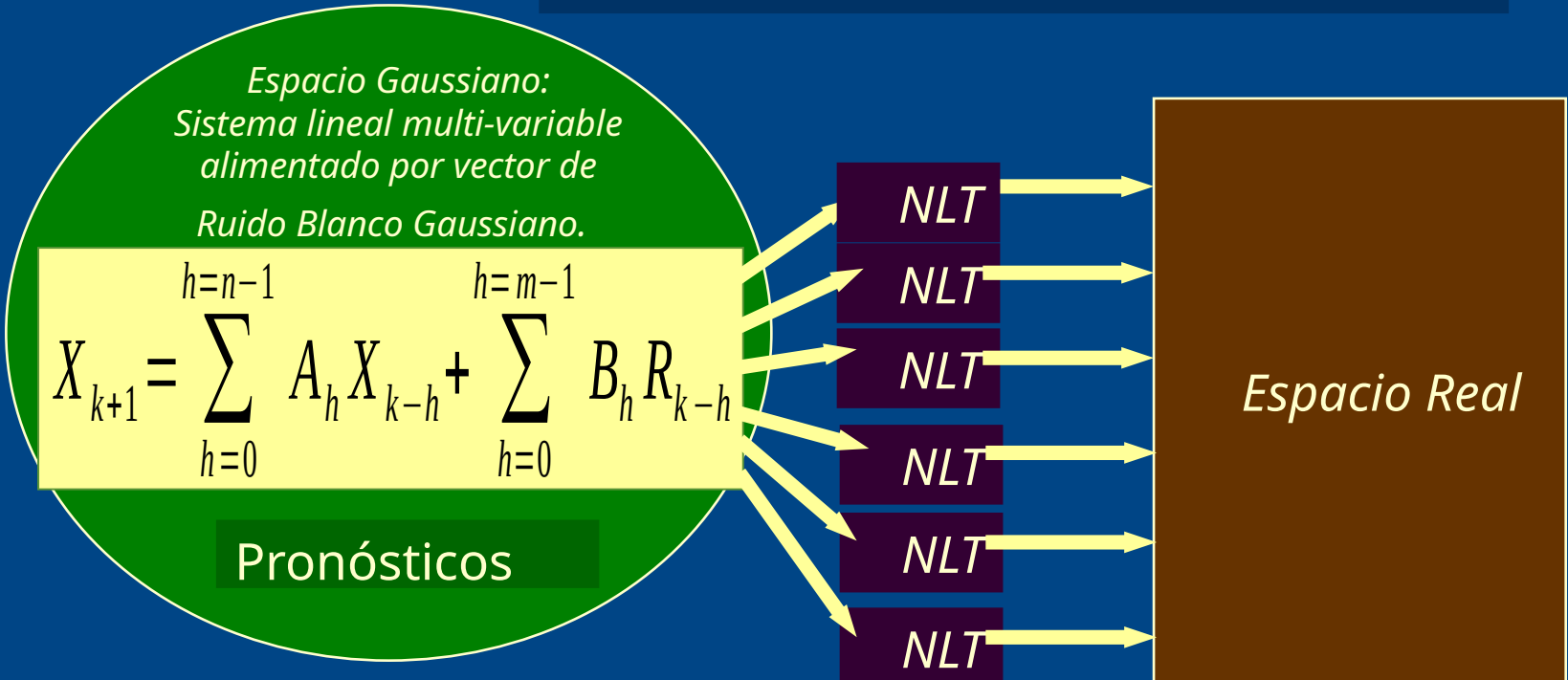
Biunívoca y que transforme todo compacto en un compacto.



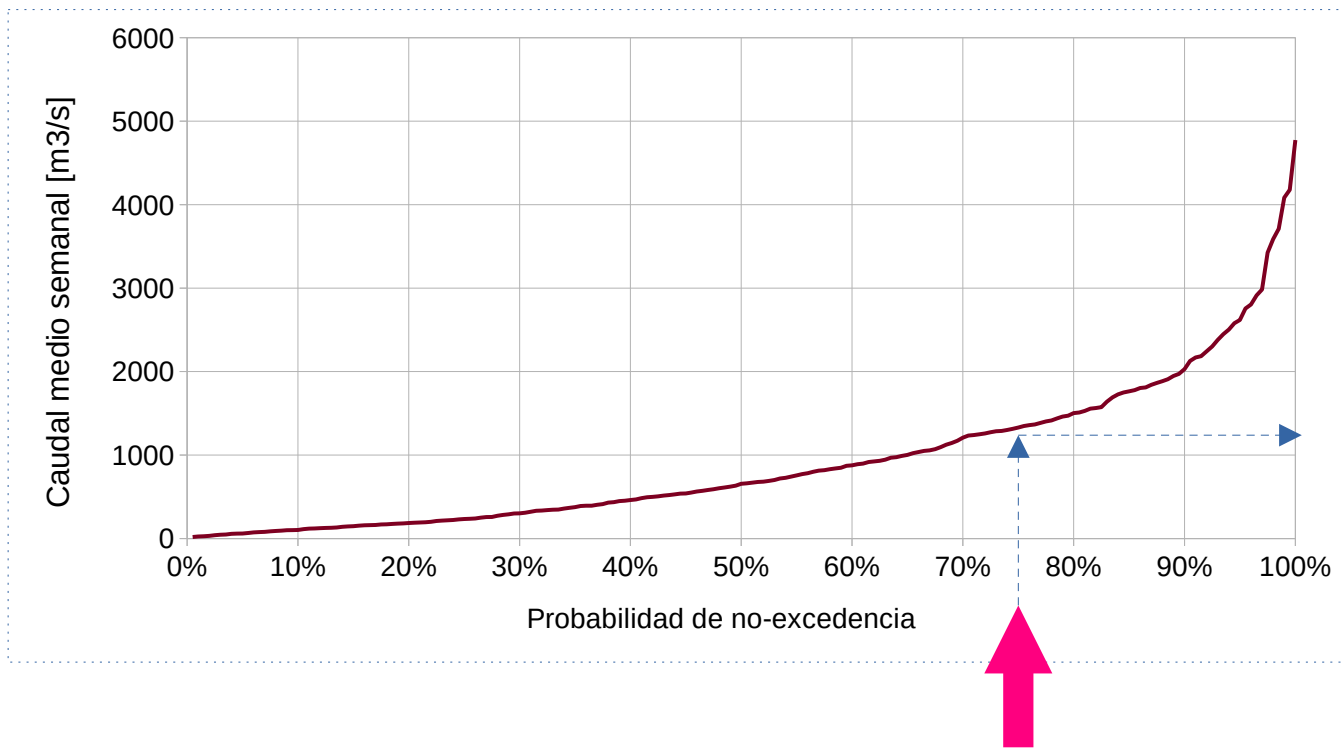
$$\langle m(x) \rangle_x = \int_{\theta \in R^n} m(\theta) \cdot p_x(\theta) dV_\theta$$

# Modelos CEGH

- Reproduce los histogramas de amplitudes de las series.
- Reproduce las correlaciones entre las series y con sus pasados..



# Deformadores por canal y por paso de tiempo (compactas)

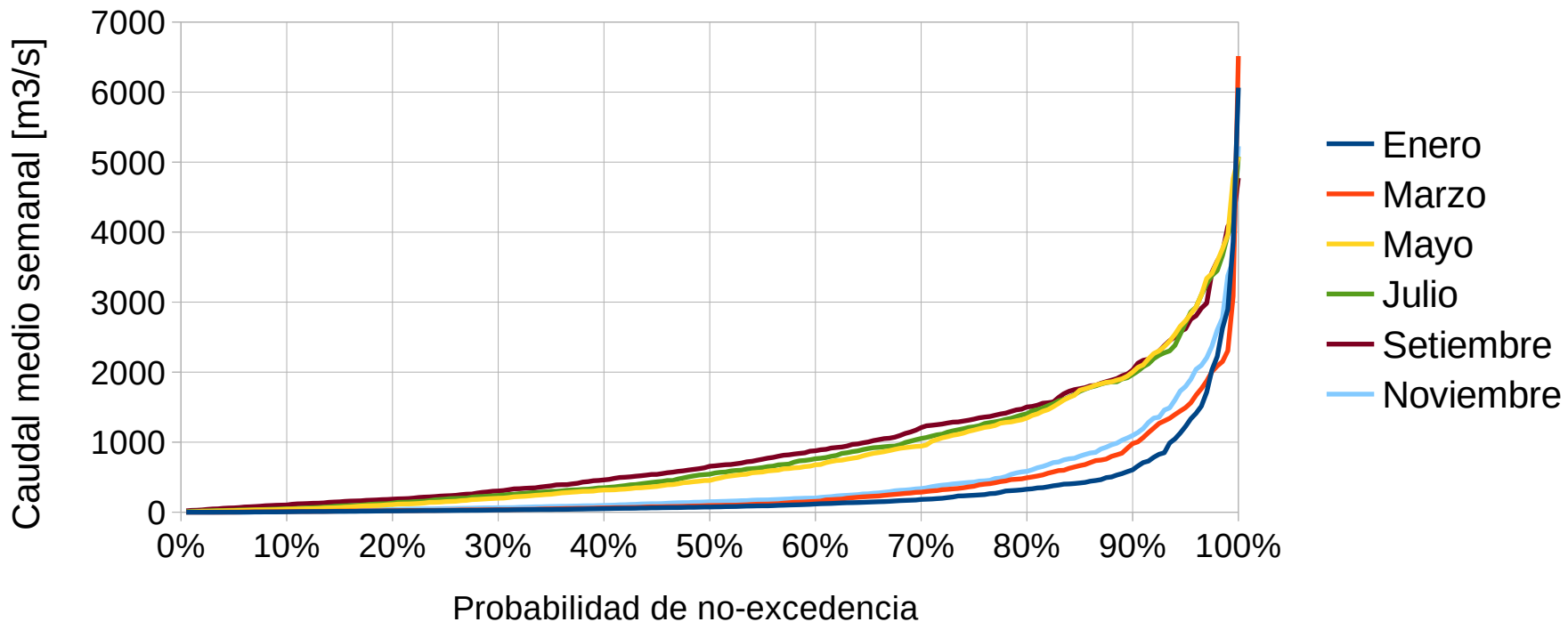


$$U(0, 1)$$

)

$$p_x(\theta)$$

# Deformadores del caudal medio semanal a Rincón de Bonete para distintos meses del año



# Matríg de Covarianzas (en espacio gaussiano)

	B	P	S
B	1.000	0.571	0.536
P	0.571	1.000	0.296
S	0.536	0.296	1.000

$$\Sigma = \langle X \cdot X^T \rangle$$

$$p_X(X) = \frac{1}{\sqrt{(2\pi)^N \cdot |\Sigma|}} \cdot e^{-\left(\frac{1}{2} X^T \Sigma^{-1} X\right)}$$

# Matriz A y B del filtro (1 paso)

## Bonete, Palmar y Salto

$$\begin{vmatrix} B[k] \\ P[k] \\ S[k] \end{vmatrix} = \begin{vmatrix} 0.76 & 0.02 & 0.08 \\ 0.16 & 0.63 & 0.01 \\ 0.12 & -0.03 & 0.78 \end{vmatrix} * \begin{vmatrix} B[k] \\ P[k] \\ S[k] \end{vmatrix} + \begin{vmatrix} 0.38 & -0.18 & -0.40 \\ 0.61 & 0.25 & 0.17 \\ 0.18 & -0.48 & 0.24 \end{vmatrix} * \begin{vmatrix} R1[k] \\ R2[k] \\ R3[k] \end{vmatrix}$$

Estado = 3x1



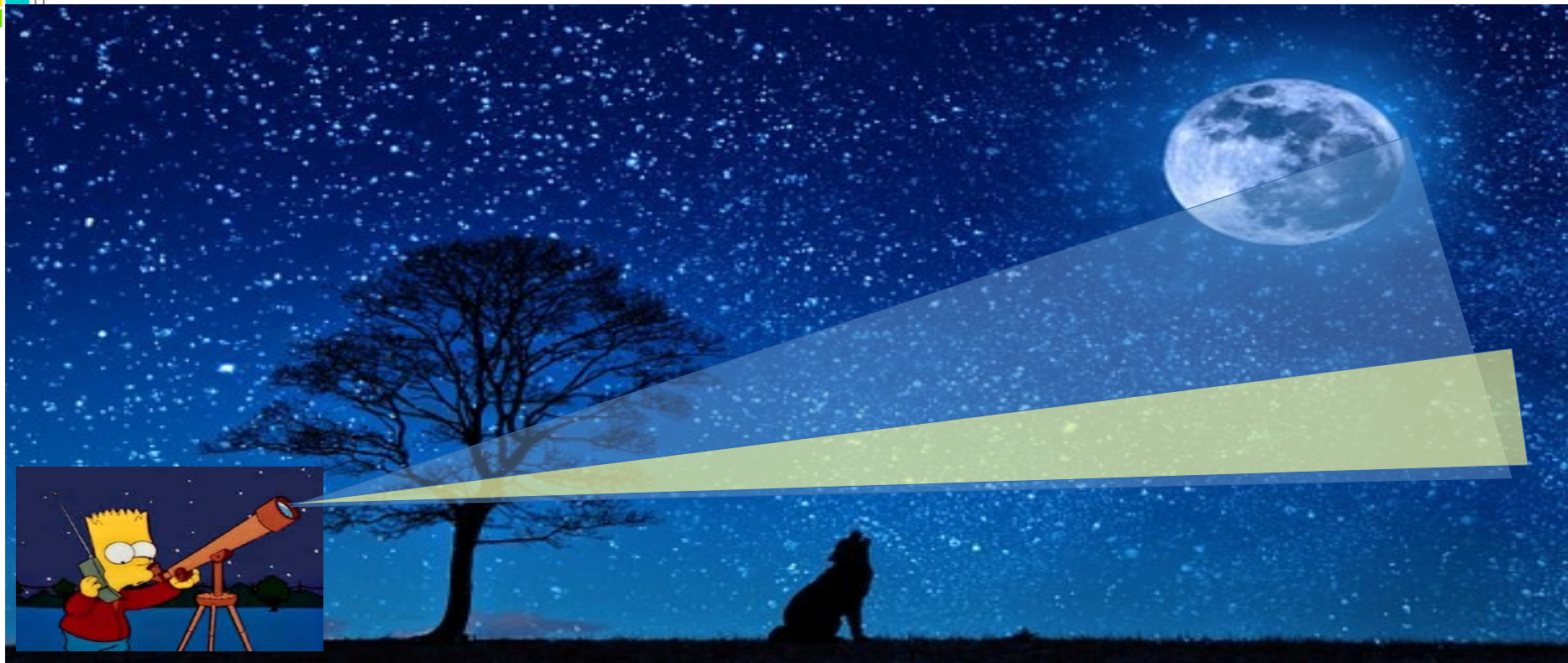
# Modelos CEGH.

## Asimilación de Pronósticos

# Operador Sin Pronósticos.



# Operador Con Pronósticos.



# Facilidad de integración de PRONÓSTICO

$$X_{k+1} = \sum_{h=0}^{h=n_r-1} A_h X_{k-h} + S_k + F_k \sum_{h=0}^{h=m-1} B_h R_{k-h}$$

Los sesgos (**s**) cambian la Guía del probabilidad 50% y los factores de atenuación (**f**) regulan la inyección de ruido, permitiendo ir desde un Pronóstico Deteminístico (ruido nulo) a la desaparición del pronóstico (ruido histórico).

$$S_k = \begin{bmatrix} s_{1,k} \\ \dots \\ s_{n,k} \end{bmatrix}$$

$$F_k = \begin{bmatrix} f_{1,k} & 0 & \dots & 0 \\ 0 & f_{2,k} & \dots & 0 \\ 0 & \dots & 0 & f_{n,k} \end{bmatrix}$$

# Estado del proceso estocástico

$$X_{k+1} = \sum_{h=0}^{h=n_r-1} A_h X_{k-h} + \sum_{h=0}^{h=m-1} B_h R_{k-h}$$

La información del pasado, necesaria para calcular la salida del sistema lineal en el espacio gaussiano, pasa a formar parte de El Estado del Sistema.

$$X_k, X_{k-1}, \dots, X_{k-(n_r-1)}$$

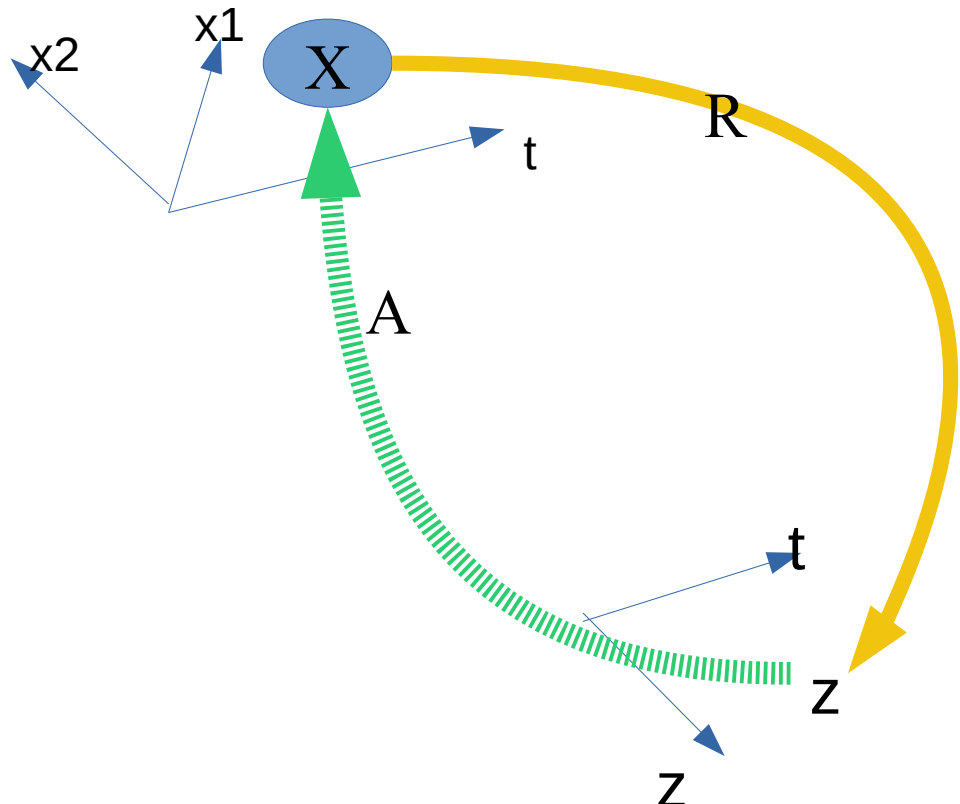
# Maldición de Bellman.

$$u_k = p(x_k, r_k, k)$$



$$\text{Dim}(u) \times \text{Dim}(x) \times \text{Dim}(r) \times \text{Dim}(k)$$

# Reducción del Espacio de Estado en modelos CEGH



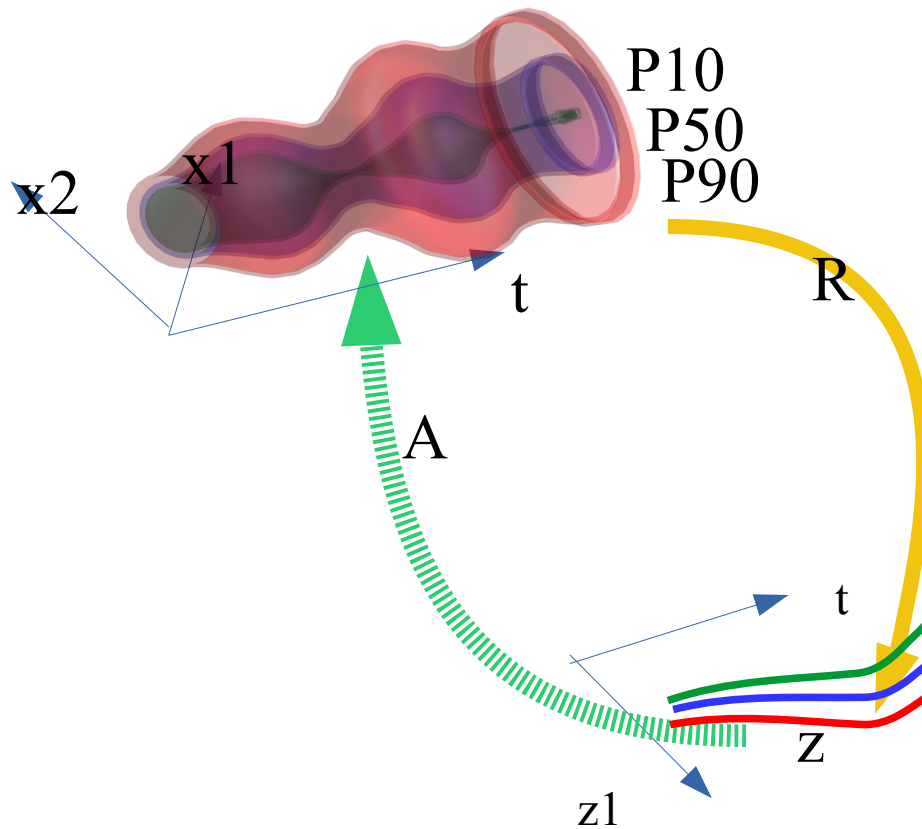
$$z = R(X)$$

$$u = PO_z(z, r, t)$$

$$X = A(z, w)$$

W es el ruido que permite poblar el volumen de X que mapea en el z dado.

# Tratamiento del pronóstico en el espacio Gaussiano con reducción

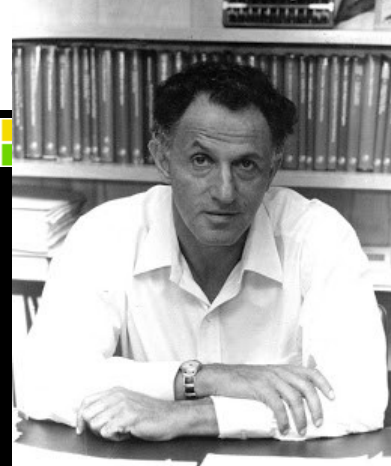


$$z = M_R X$$

$$u = PO_z(z, r, t)$$

$$X = M_A(t)z + B_A(t)w$$

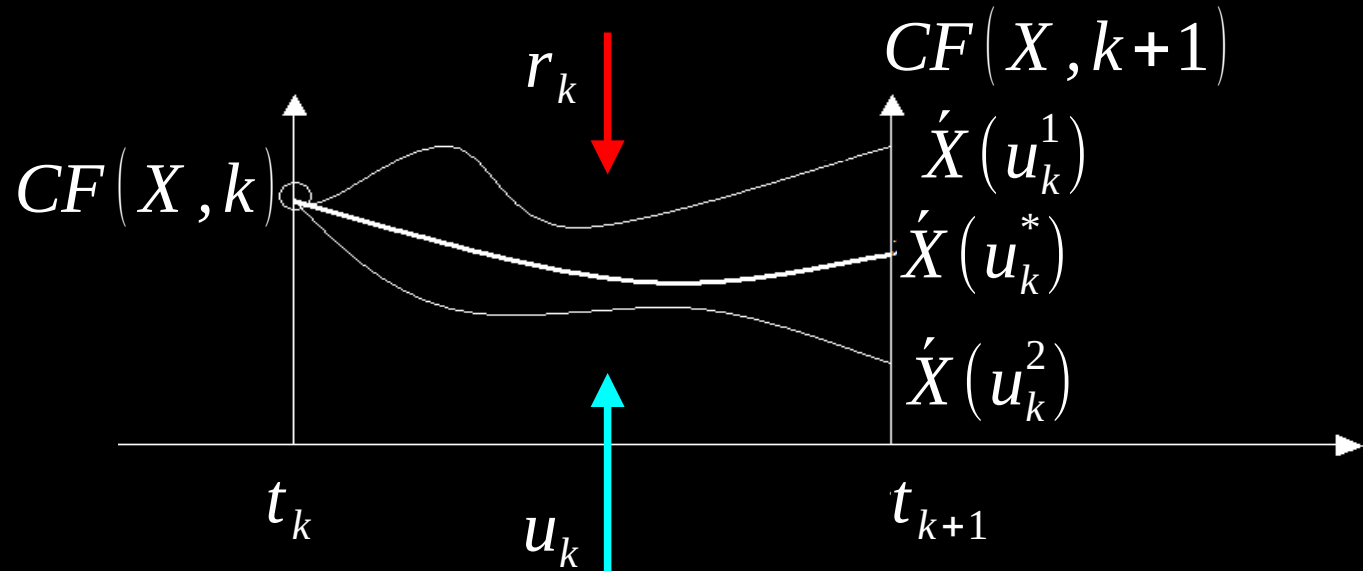
P10  
P50  
P90



Richard Ernest Bellman  
(1920–1984)

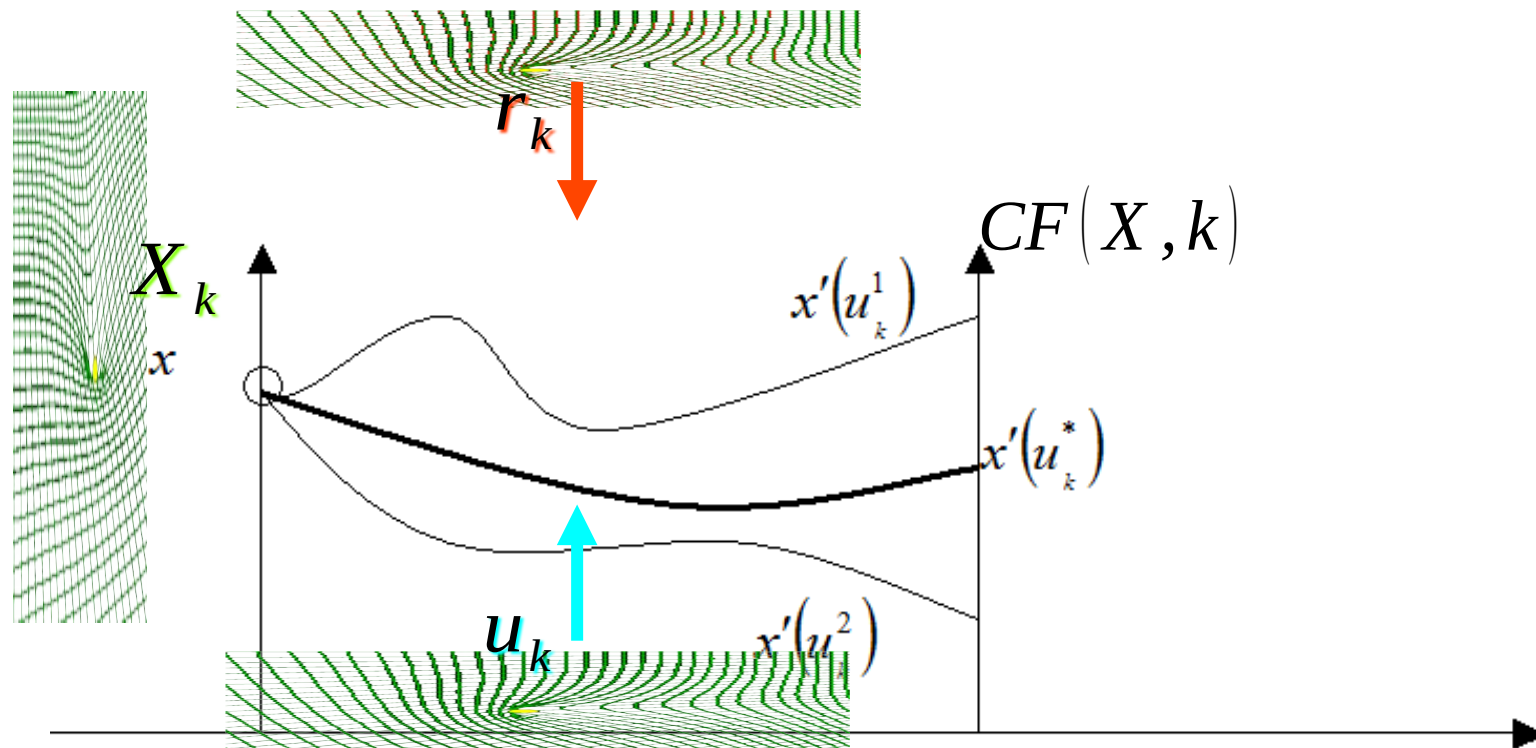
- *Dynamic Programming* 1957.

## Recursión de Bellman

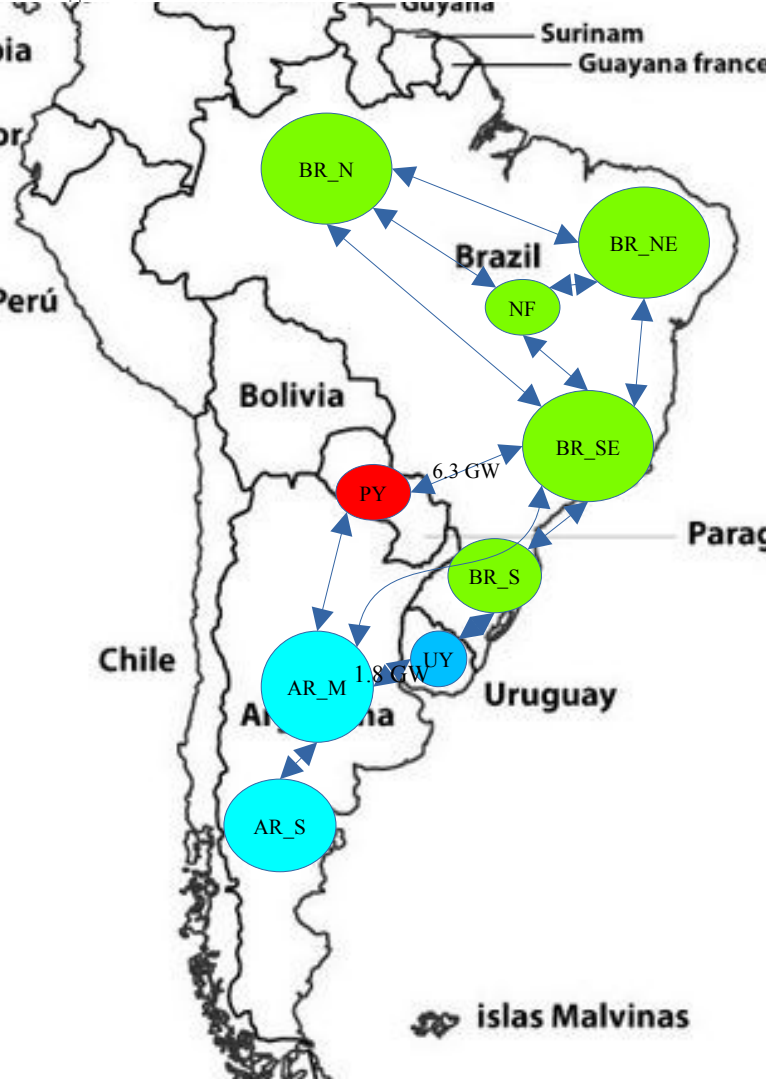


$$CF(X, k) = \left\langle \min_{u_k} \left\{ ce(X, u_k, r_k, k) + q CF(X_{k+1}) \right\} \right\rangle_{\{r_k, r_{k+1}, \dots\}}$$

# La Maldición de la Dimensionalidad de Bellman



$$\text{Dim}(u) \times N_{X_1} \times N_{X_2} \dots \times N_{X_{\text{Dim}(X)}} \times N_{r_1} \times N_{r_2} \dots \times N_{r_{\text{Dim}(r)}} \times N_t$$



# Simulación UY+BR+PY+AG

variables de estado: 76

discretización del espacio de estado:

$$52 * 3 * 5^{76} = 2 \times 10^{55}$$

**Recursión de Bellman** memoria:

$$2 * 10^{55} * 10 / 1E9 = 2 * 10^{47} \text{ GB}$$

Dimensión Simplex sobre: 5000x2000

Tiempo de resolución Simplex: 64 ms

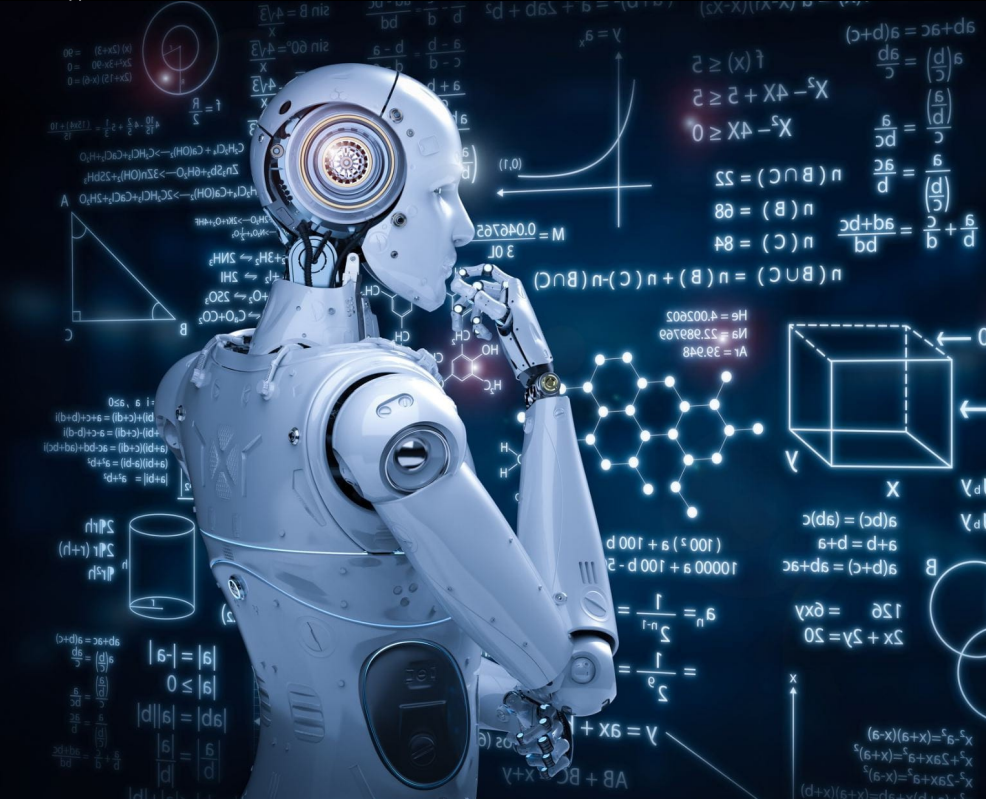
hora de resolver la recursión de Bellman:

$$2 * 10^{55} * 64 / 1000 / 3600 / 24 / 365 / 1000$$

$$= 4 * 10^{43} \text{ milenios!!!!}$$



# Aprendizaje Automático ( machine learning )

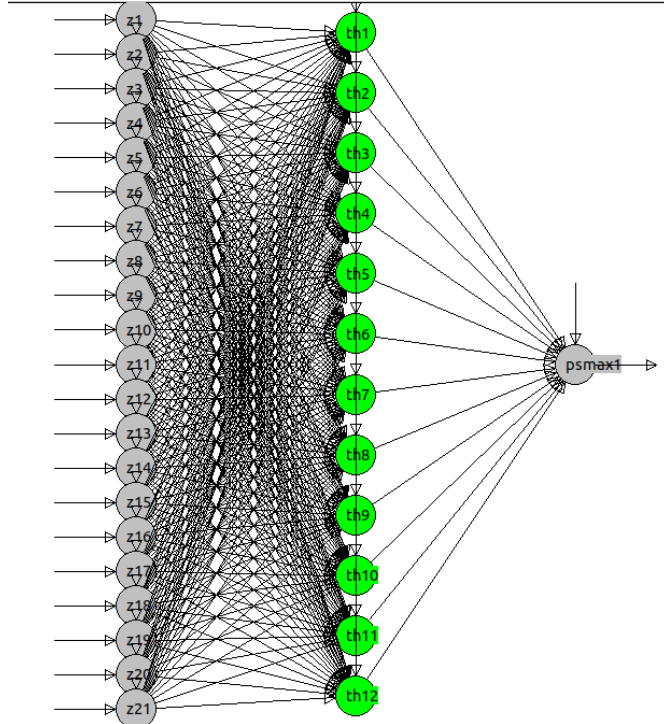


$$\min_u \left\{ ce\left(X_k, u_k, r_k, k\right) + CF\left(X_s, k+1\right) \right\}$$

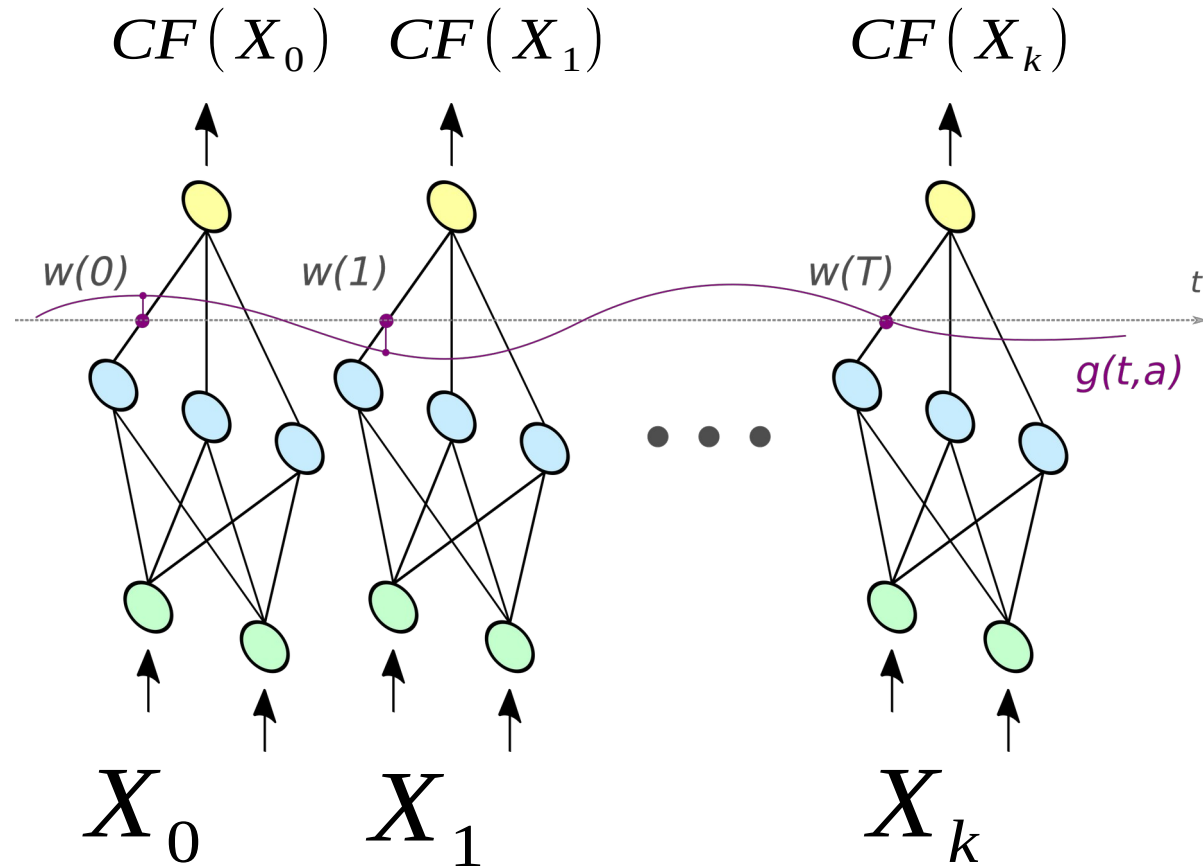
$$@ \left| \begin{array}{l} u \in \Omega\left(X_k, r_k, k\right) \\ X_s = f\left(X_k, u_k, r_k, k\right) \end{array} \right.$$

# Programación dinámica estocástica aproximada

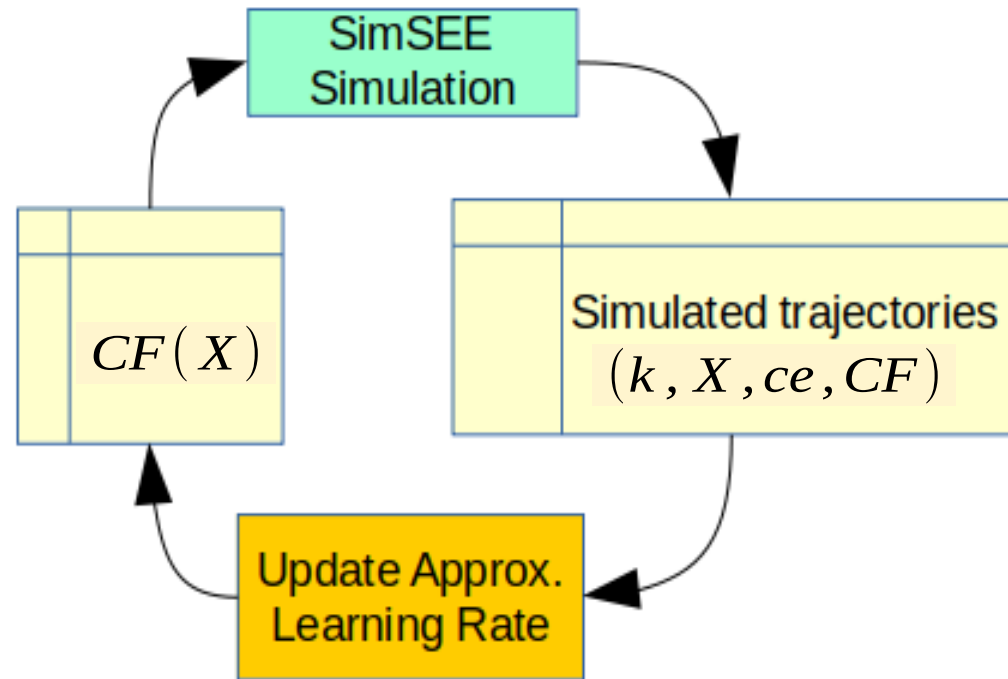
*... dada una aproximación de  $CF(X)$  puedo simular*



# Conjunto de redes neuronales, una por paso de tiempo



# Bucle de aprendizaje

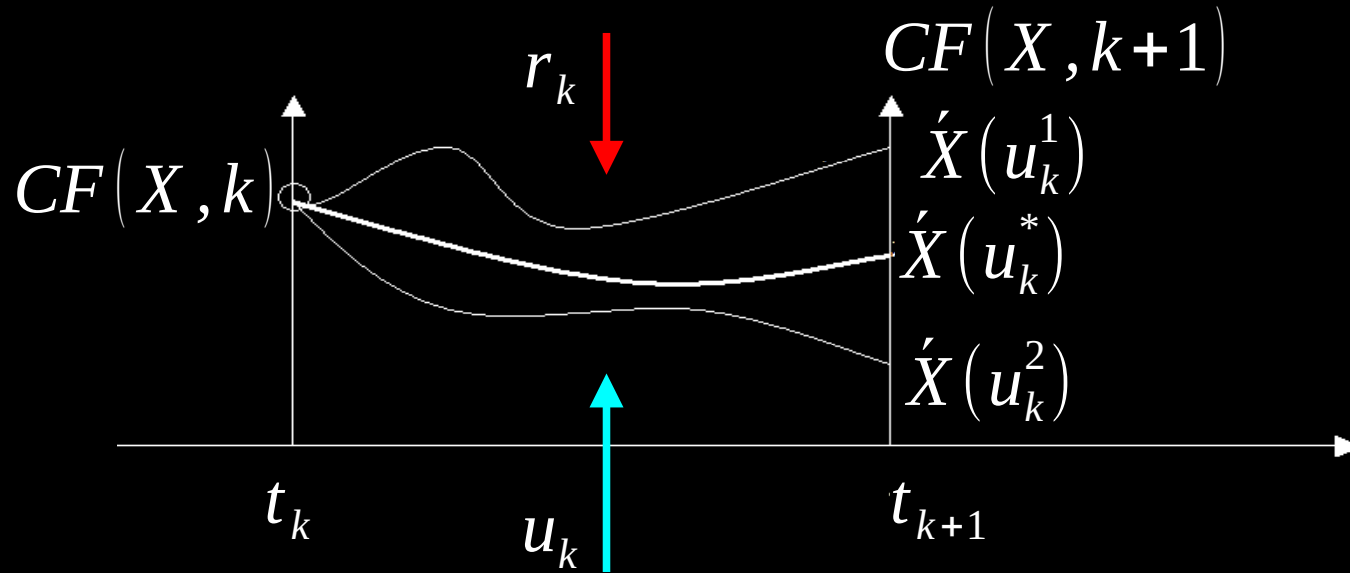


# Representación de la Política de Operación

$$CF(X, k) = \min_u \left\{ ce(X_k, u_k, r_k, k) + CF(X_s, k+1) \right\}$$

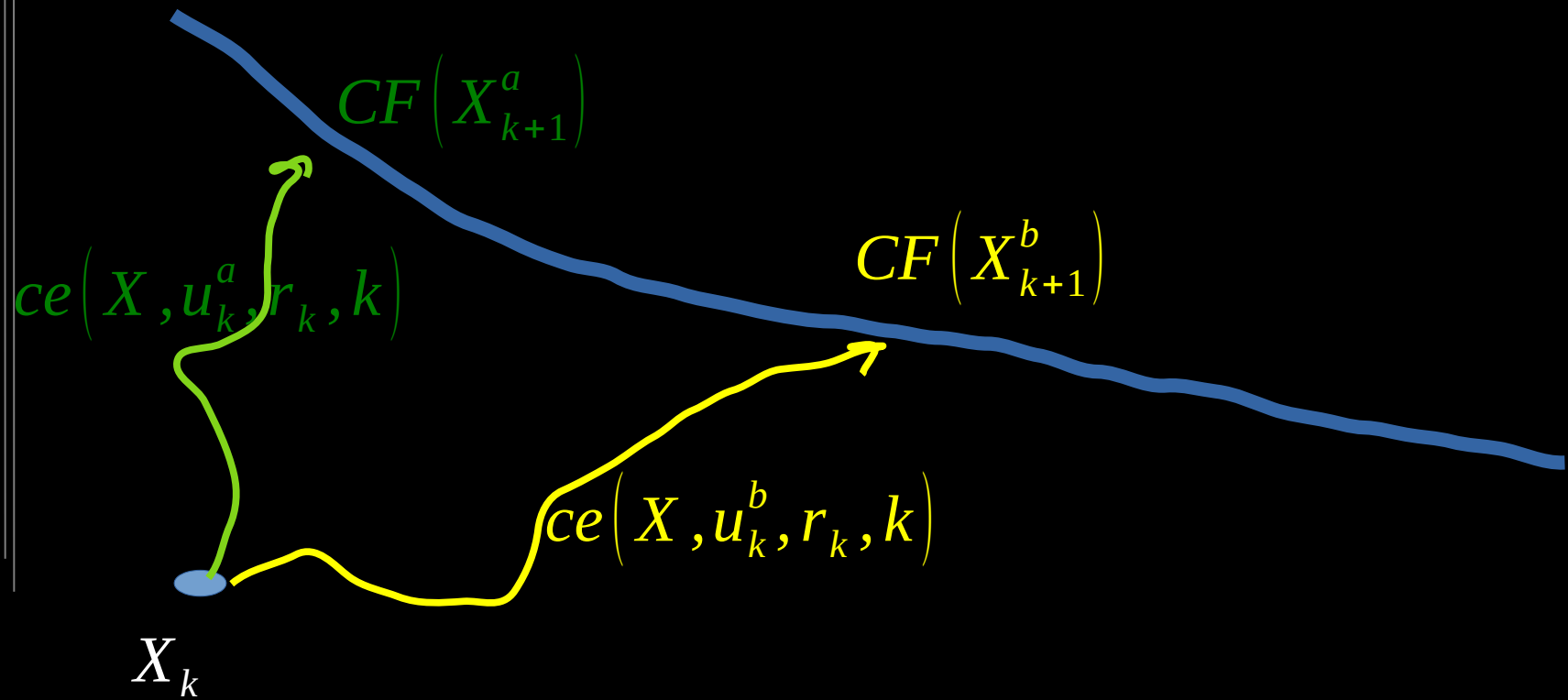
@  
$$\begin{cases} u \in \Omega(X_k, r_k, k) \\ X_s = f(X_k, u_k, r_k, k) \end{cases}$$

# Recursión de Bellman



$$CF(X, k) = \min_{u_k} \left\{ ce(X, u_k, r_k, k) + q CF(X_{k+1}) \right\}_{\{r_k, r_{k+1}, \dots\}}$$

# La información está en las diferencias de CF



# Realizaciones y generadores de números pseudo-aleatorios

Cada entidad en SimSEE tiene su propio generador de números pseudo-aleatorios que se inicializan en base a una semilla aleatoria (un número entero) calculado a partir de una Semilla-MADRE igual para todos y un algoritmo que crea una semilla única a partir del Nombre y Tipo de Entidad.

Una Realización de los proceso estocásticos se obtiene en una simulación haciendo que cada entidad en cada paso de tiempo genere los números aleatorios que determinan sus incertidumbres.

Cambiando la Semilla-MADRE se simulan diferentes posibles futuros en base a las realizaciones de los procesos estocásticos representados.

# Simulación dada una función CF(X,k)

$$\min_u \left\{ ce\left(X_k, u_k, r_k, k\right) + CF\left(X_s, k+1\right) \right\}$$
$$@ \begin{cases} u \in \Omega\left(X_k, r_k, k\right) \\ X_s = f\left(X_k, u_k, r_k, k\right) \end{cases}$$

Estados iniciales:  $\{X_0^1, X_0^2, \dots, X_0^{nx}\}$

Semillas aleatorias:  $\{w_1, w_2, \dots, w_{nw}\}$

# Trayectorias (nx x nw):

Estados iniciales

$$\left\{ X_0^1, X_0^2, \dots, X_0^{nx} \right\} \times \left\{ w_1, w_2, \dots, w_{nw} \right\}$$

Semillas Aleatorias



Trayectorias

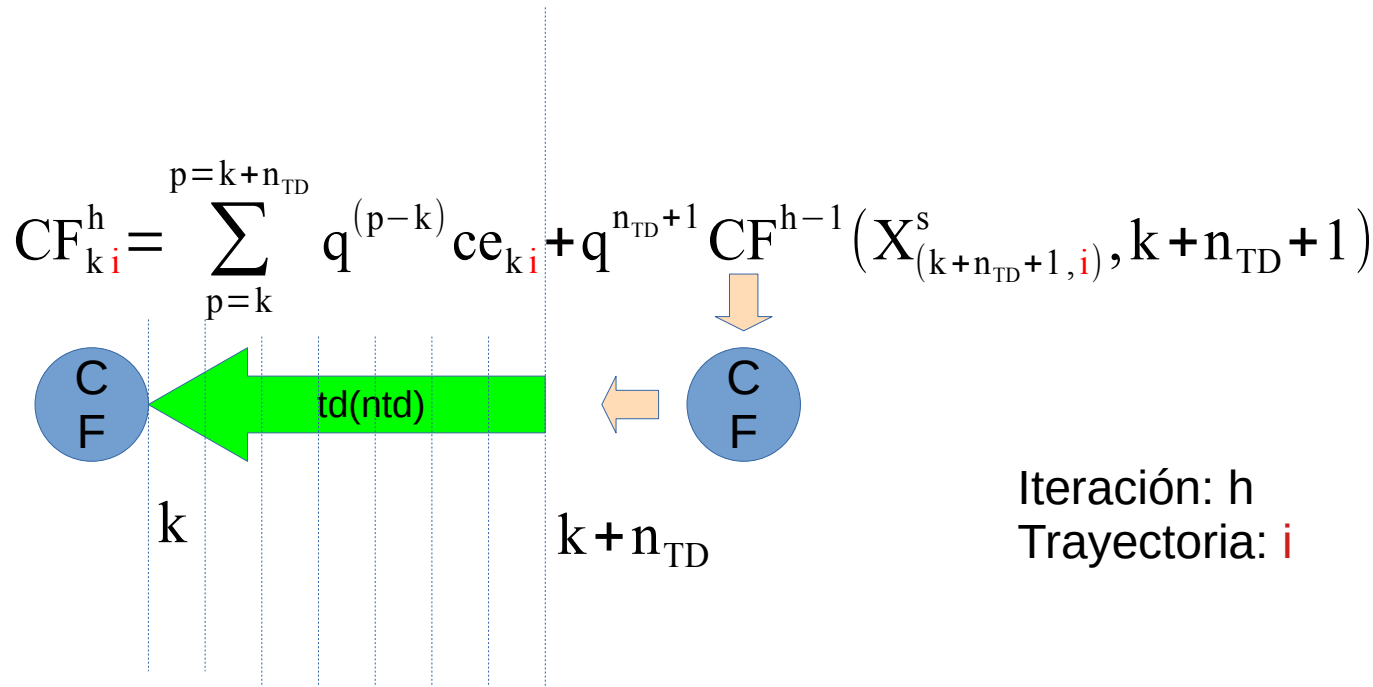
$$\left\{ \begin{array}{l} (X_0^1, w_1), (X_0^1, w_2), \dots, (X_0^1, w_{nw}) \\ (X_0^2, w_1), (X_0^2, w_2), \dots, (X_0^2, w_{nw}) \\ \dots \\ (X_0^{nx}, w_1), (X_0^{nx}, w_2), \dots, (X_0^{nx}, w_{nw}) \end{array} \right\}$$

$(X_0^1, w_1)$

<i>k</i>	X						MEE	ce	CF(X,k+1)
	x1	x2	x3	x4	x5	x6			
<b>0</b>	6339.434	560.223	1040.023	-1.378	-0.981	-0.811	7	-227978	-297041
<b>1</b>	6188.706	171.883	411.939	-1.368	-0.998	-0.846	7	-188945	-119353
<b>2</b>	6046.920	113.600	411.939	-1.339	-0.954	-0.880	7	-548	-17670
<b>3</b>	5929.287	113.600	411.939	-1.334	-1.021	-0.994	7	-206043	61942
<b>4</b>	5803.822	113.600	411.939	-1.333	-0.924	-1.113	7	-115979	126864
<b>5</b>	5687.223	113.600	411.939	-1.330	-0.960	-1.160	7	-58225	162629
<b>6</b>	5577.711	113.600	411.939	-1.325	-0.967	-1.128	7	-91917	196991
<b>7</b>	5474.921	113.600	411.939	-1.317	-0.963	-1.084	7	68926	231503
<b>8</b>	5378.466	113.600	383.063	-1.307	-1.115	-1.038	7	21433	255490
<b>9</b>	5286.142	112.375	410.533	-1.300	-1.109	-1.044	7	-142275	344703
<b>10</b>	5199.748	113.600	411.939	-1.296	-1.006	-1.079	7	-139002	416420
<b>11</b>	5119.304	113.600	411.939	-1.287	-0.884	-1.102	7	-44928	456890
<b>12</b>	5044.897	113.600	411.939	-1.212	-0.799	-1.105	7	-70140	486965

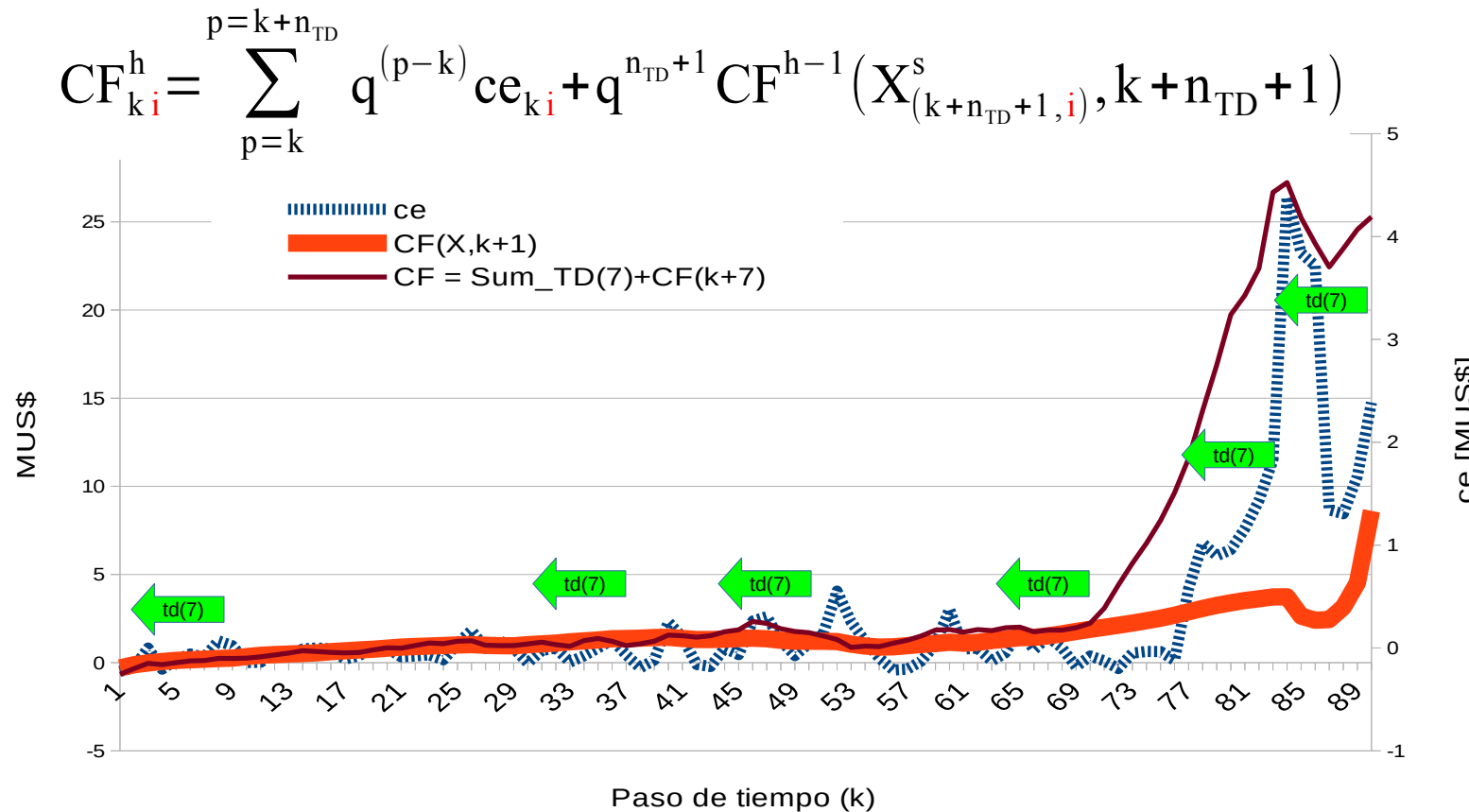
# Estimación de CF a partir de la información de las trayectorias

td = Time Diference



# Estimación de CF a partir de la información de las trayectorias

td = Time Diference



# Claves para el éxito de la implementación

Técnicas de reducción de varianza (Common Random Number )

Evitar convergencia de las trayectorias durante la exploración.

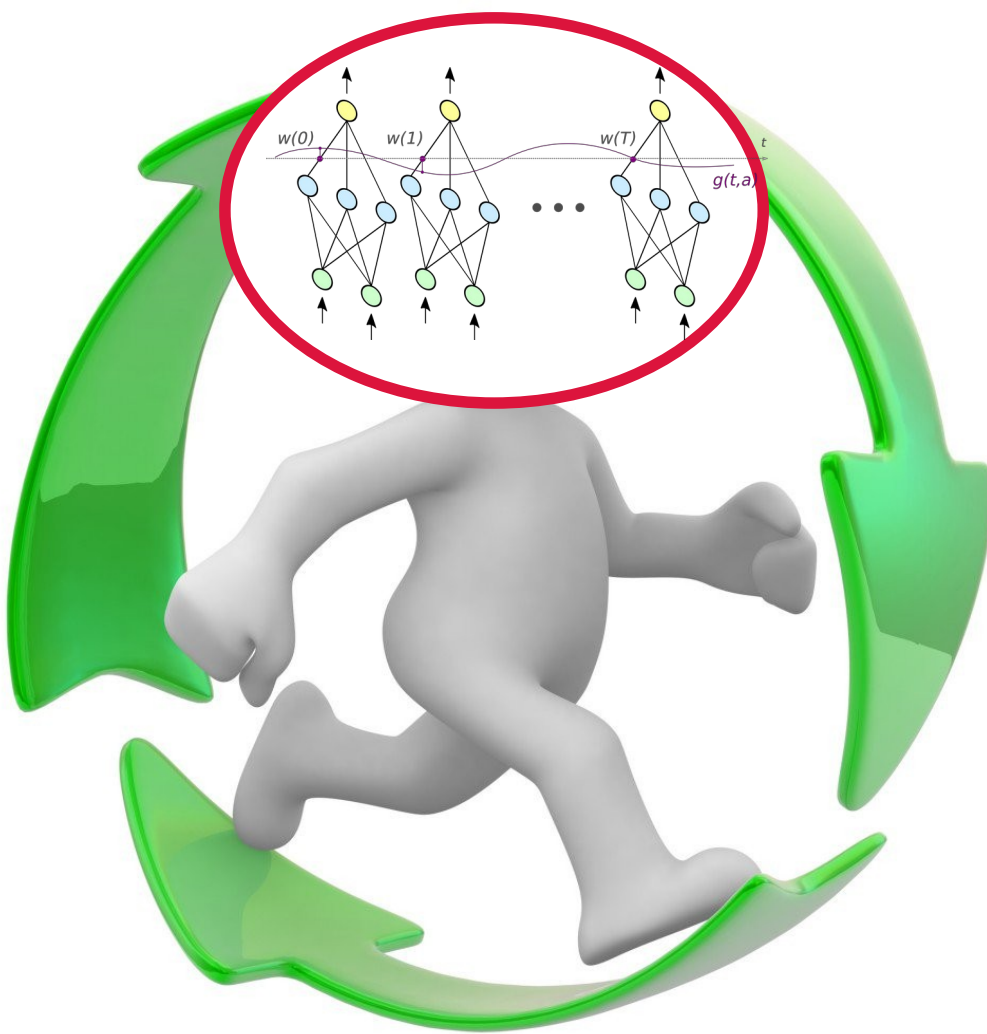
+ mezcla de Time-Diferences acode con las constantes de tiempo del sistema. (Modos de Evolución)

Regularizaciones:

+ Red Neuronal de estructura simple

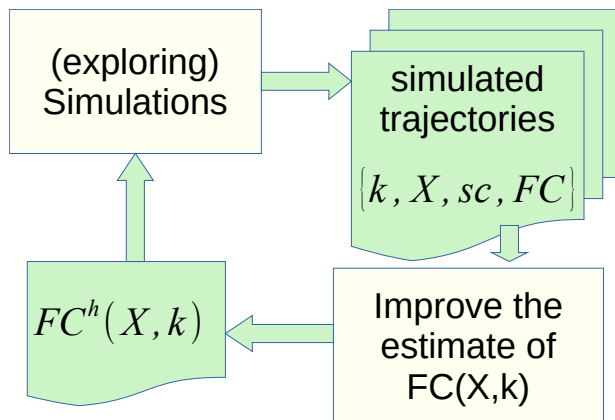
+ En los parámetros (Redge o Lasso)

+ En la variación temporal de los parámetros.

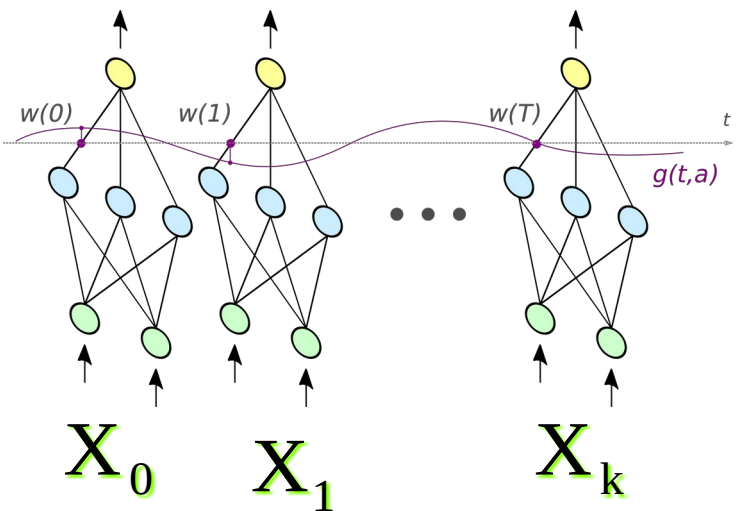


2nd generation of robots  
with artificial intelligence

VatesIA\_MP y VatesIA\_CP



# FC(X) representation and regularizations



$L = \sum_{k,g} L_{kg} + \lambda \sum_k \|\theta_k\|^p + \beta \sum_{k=2} \|\theta_k - \theta_{k-1}\|^2$

Parsimony(t)

- TD
- Power series and harmonics

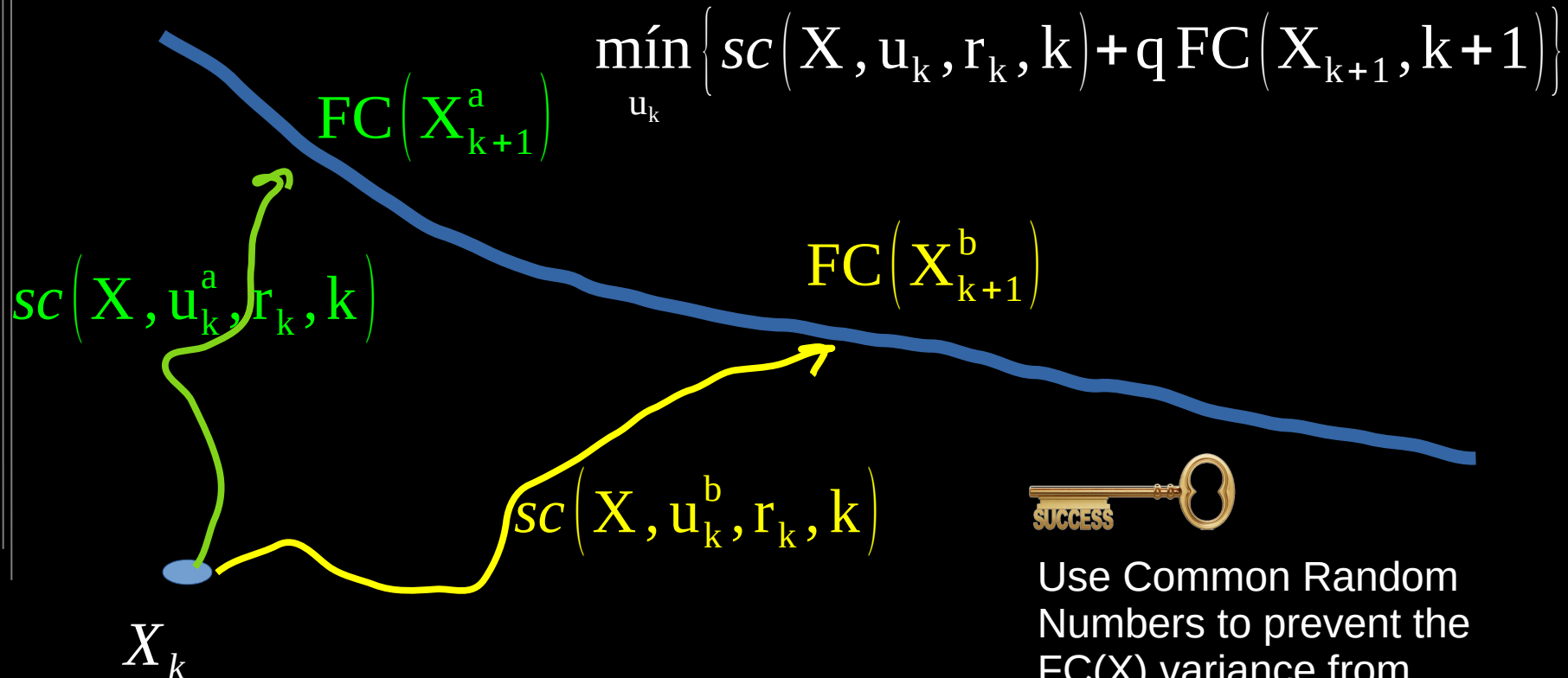
•  $p=2$  : Ridge

•  $p=1$  : Lasso

Approximate the differences instead of the function itself

$$L_{kg} = \frac{1}{4N^2} \sum_{i \neq j \in g} ((M(X_{kj}, \theta_k) - M(X_{ki}, \theta_k)) - (FC_{kj} - FC_{ki}))^2$$

# The information is in the FC(X) differences



Use Common Random  
Numbers to prevent the  
FC(X) variance from  
confounding the  
calculation of the  
differences:  $\Gamma C(X)$

# Exploration Strategies



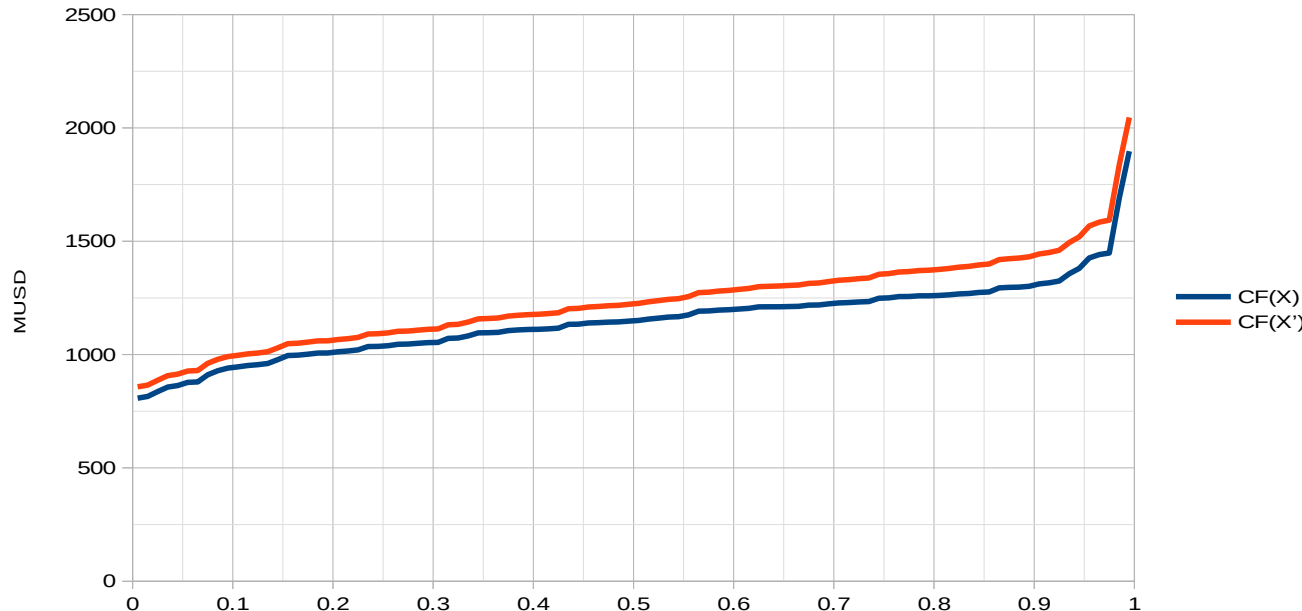
In a stable system, the use of CRN leads to convergence of trajectories and a consequent loss of exploration capability. Each NTD steps states are exploited to recover said capability.



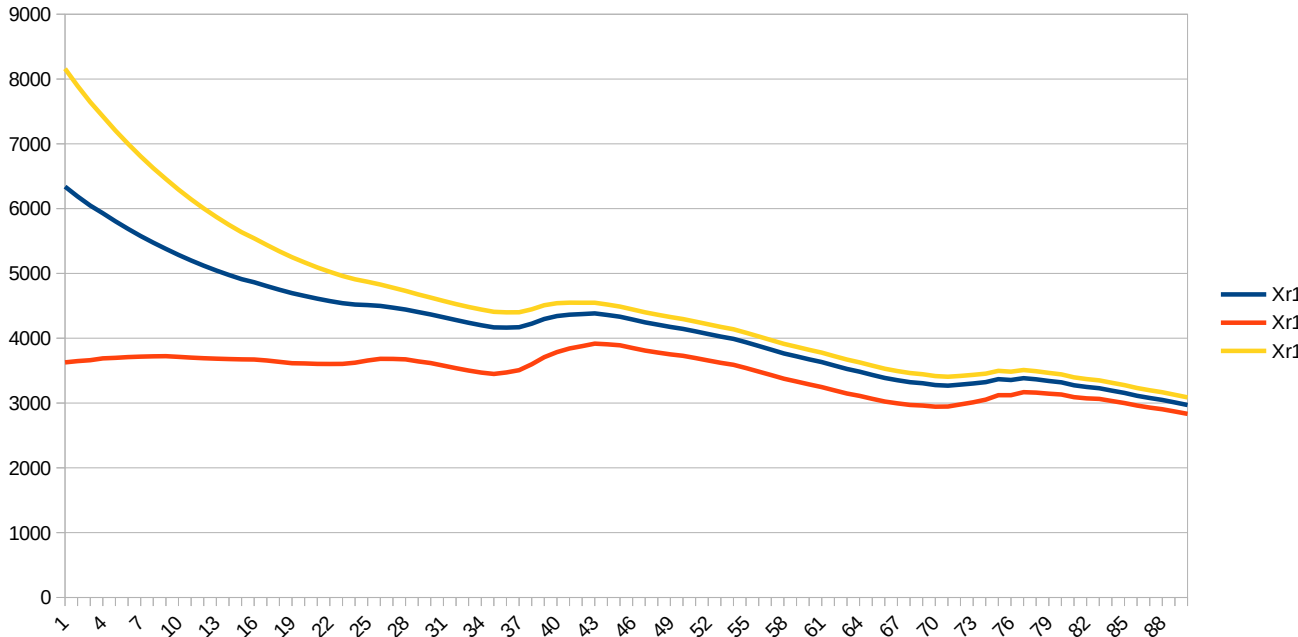
In a continuously operated system, learning is also processed continuously. With the course of each real hour, the vector of neurons is moved, discarding the array of neurons corresponding to the elapsed hour and repeating the last one to continue in the learning loop

# Common Random Numbers.

## Técnica de reducción de la varianza de la esperanza de la diferencia.

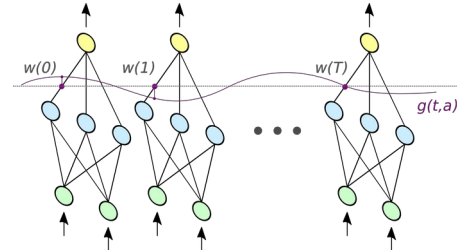


# Convergencia de los estados ante realizaciones con CRN



# Representación y entrenamiento de CF(X,k)

$$CF^h(X, k) = M(X, k, \theta_k)$$

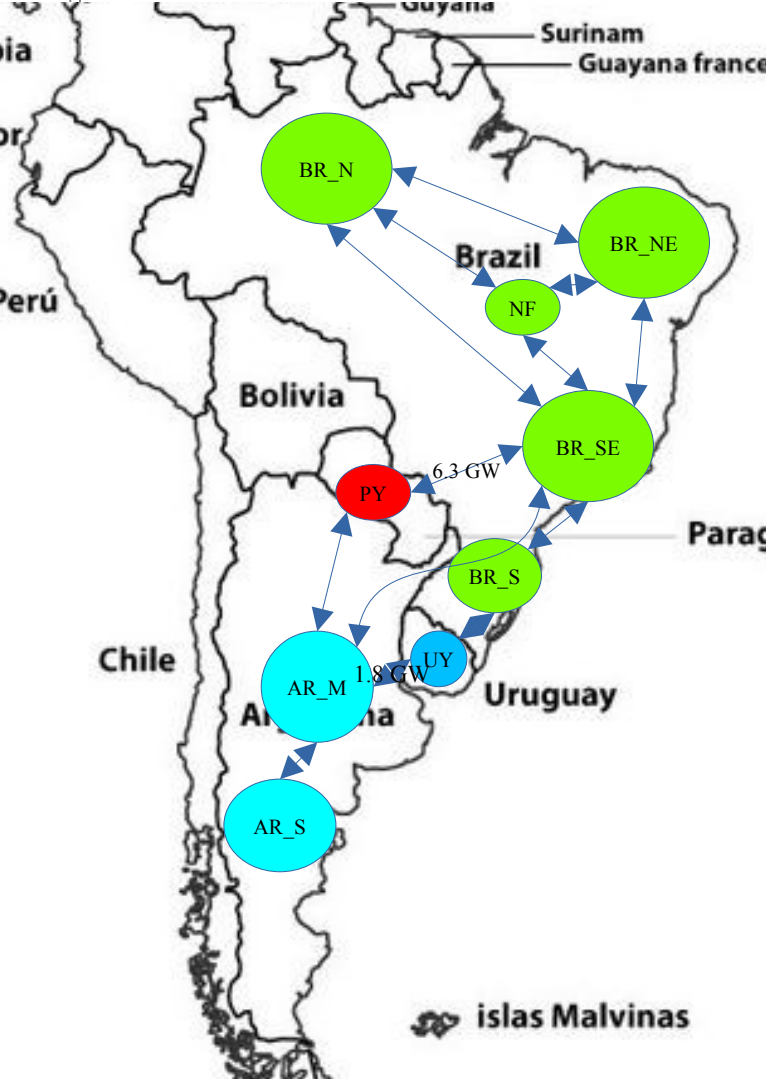


Función de error en base a las diferencias

$$L_{kg} = \frac{1}{4N^2} \sum_{i \neq j \in g} ((M(X_{kj}, \theta_k) - M(X_{ki}, \theta_k)) - (CF_{kj} - CF_{ki}))^2$$

Función de error completa con regularizadores

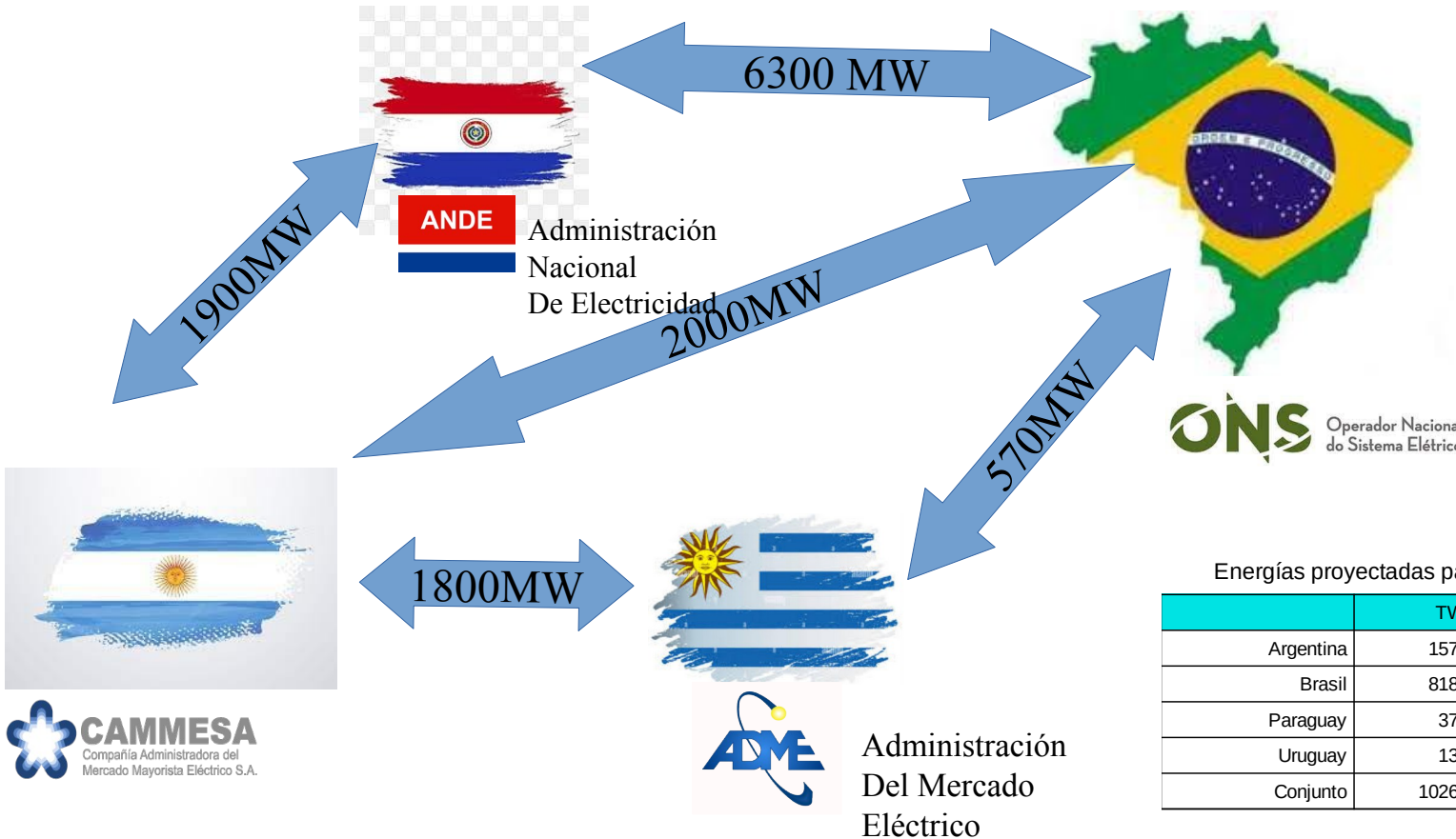
$$L = \sum_{k,g} L_{kg} + \lambda \sum_k \|\theta_k\|^2 + \beta \sum_{k=2} \|\theta_k - \theta_{k-1}\|^2$$



# Ejemplo de aplicación, aprendizaje de una Política de Operación del conjunto:

- **Argentina**
- **Brasil**
- **Paraguay**
- **Uruguay**

# Sistemas e Interconexiones



Energías proyectadas para 2030

	TWh	E/Uy
Argentina	157.6	12
Brasil	818.1	61
Paraguay	37.0	3
Uruguay	13.5	1
Conjunto	1026.1	76

# Fuentes de información:

Modelo de Uruguay en SimSEE  
Prog. Estacional Nov. 2021  
<https://www.adme.com.uy/informes/progest.php>

Modelo de Brasil en NEWAVE, programación Diciembre 2021 (CCEE)

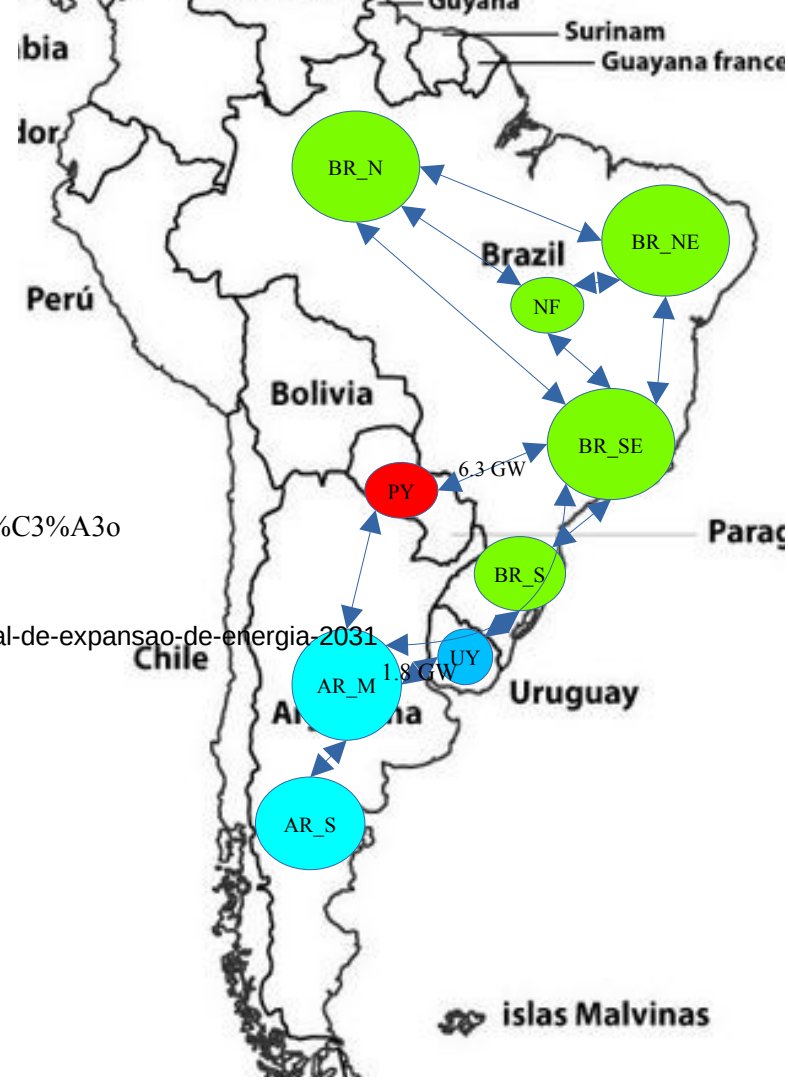
Demanda 2021 (ONS)  
<https://dados.ons.org.br/dataset/?tags=Hist%C3%B3rico+da+Oper%C3%A7%C3%A3o>

Plano Decenal de Expansão de Energia 2031 (MME - epe)  
<https://www.epe.gov.br/pt/publicacoes-dados-abertos/publicacoes/plano-decenal-de-expansao-de-energia-2031>

Modelo de Argentina en VMARGO.  
Programación Estacional Nov2021-Abr2022.  
<https://cammesaweb.cammesa.com/visual-margo/>

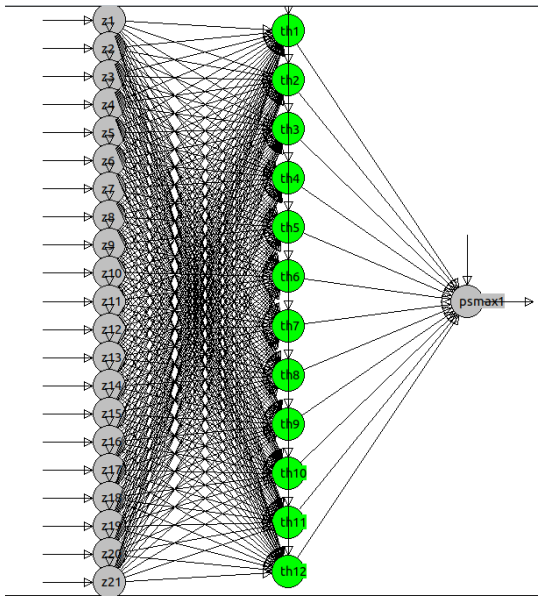
Lineamientos para un Plan de Transición Energética al 2030. Ministerio de Economía,  
Secretaría de Energía, Argentina. Octubre 2021  
<https://www.argentina.gob.ar/economia/energia/planeamiento-energetico>

Plan Maestro de Generación. Período: 2021–2040. Paraguay. Febrero 2021  
[https://www.ande.gov.py/documentos/plan\\_maestro/PLAN%20MAESTRO%20DE%20GENERACION%20202021-2040.pdf](https://www.ande.gov.py/documentos/plan_maestro/PLAN%20MAESTRO%20DE%20GENERACION%20202021-2040.pdf)



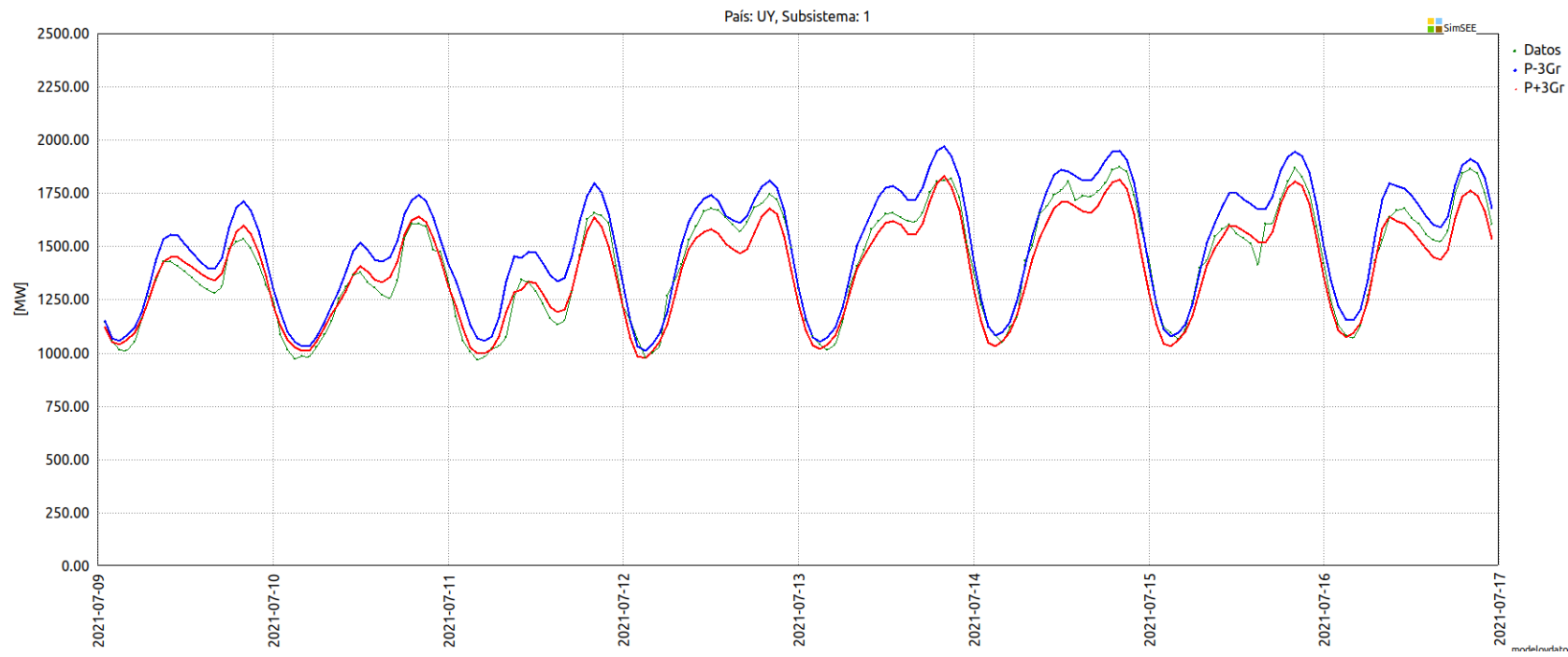
# Modelado de las Demandas

A	B	C	D	E	F	G	H	I	J	K	L
VERSION_FORMATO_SERIES:	3 //										
	11										
202111	1	0	0	0	0	// año mes dia hora minuto segundo de la fecha de primer muestra					
1// periodo de muestreo en horas											
8760// cantidad de puntos totales por serie											
1// cantidad de puntos en un ciclo											
1// cantidad de cronicas por serie											
wwwwwwwwwww											
kCron:	1										
	SE	S	NE	N	FRT_Temp	MTG_Temp	PAL_Temp	RDJ_Temp	SLV_Temp	SNP_Temp	diasem
2021-01-01 00:00:00	33498.4	9060.6	10343.5	5511.8	24.1	23.0	19.7	22.7	19.6	19.8	6
2021-01-01 01:00:00	33183.0	9020.2	10428.2	5470.1	23.5	22.9	19.7	22.2	18.8	19.6	6
2021-01-01 02:00:00	32630.7	8696.5	10428.9	5497.6	23.2	23.0	18.9	22.0	18.6	19.2	6
2021-01-01 03:00:00	31738.5	8338.1	10380.6	5508.8	23.1	23.0	18.7	21.9	18.9	19.1	6
2021-01-01 04:00:00	31233.2	8081.1	10244.2	5408.8	22.7	22.9	18.5	21.9	18.8	19.1	6
2021-01-01 05:00:00	29944.3	7716.1	9499.5	5381.0	22.7	22.8	18.0	22.2	19.2	19.1	6
2021-01-01 06:00:00	28583.6	7322.3	8972.6	5118.8	25.4	23.5	22.3	24.9	22.4	20.8	6
2021-01-01 07:00:00	28589.8	7383.2	8838.3	4938.0	26.2	25.9	22.8	26.4	23.9	20.7	6
2021-01-01 08:00:00	29052.2	7472.9	8734.1	4865.5	27.0	27.1	23.4	27.3	24.8	20.6	6
2021-01-01 09:00:00	29675.1	7680.8	8612.7	4837.3	27.4	28.2	24.2	27.9	25.6	21.1	6
2021-01-01 10:00:00	30490.9	7904.7	8609.4	4803.4	28.1	29.3	25.5	28.4	27.0	22.1	6
2021-01-01 11:00:00	31191.9	8018.6	8657.8	4753.3	31.8	31.6	28.1	28.7	29.5	23.1	6
2021-01-01 12:00:00	31208.0	7792.8	8714.4	4748.5	32.4	31.8	28.5	27.2	30.5	24.1	6
2021-01-01 13:00:00	30782.2	7654.7	8767.5	4840.7	33.4	31.0	28.9	26.2	31.5	24.9	6
2021-01-01 14:00:00	30618.7	7653.0	8979.2	4937.6	33.9	31.4	29.3	25.8	31.4	24.5	6
2021-01-01 15:00:00	30815.3	7800.3	9159.0	5014.8	33.4	30.1	29.3	25.4	31.8	24.3	6
2021-01-01 16:00:00	31429.6	8149.5	9325.6	5069.8	31.5	28.2	28.8	24.8	31.1	23.2	6
2021-01-01 17:00:00	32311.7	8660.7	9565.5	5087.0	29.4	26.9	27.8	24.2	29.0	23.0	6
2021-01-01 18:00:00	34157.9	9102.1	10760.2	5250.7	28.6	25.4	25.0	22.8	25.7	21.3	6
2021-01-01 19:00:00	37790.4	10137.9	11263.2	5555.9	27.9	25.3	23.9	22.5	24.3	20.9	6



- 21 Entradas: temperatura media diaria, el tipo de día, el instante temporal y las series de senos y cosenos del instante temporal que permiten captar los tres primeros armónicos del ciclo anual, semanal y diario.
- Capa Oculta: 12 neuronas con saturación del tipo Tangente Hiperbólica (fully-connected).
- Capa de Salida: una neurona con saturación del tipo PonderSofMax.

# Ejemplo de salida del modelo Demanda



# Series Hidro (iN34:1910, Ar:1943, UY:1909, BR:1931, PY:1978)

País	Central	País	Central	País	Central	País	Central	País	Central
1	Pacífico iN34	26	BR BATALHA	51	BR JORDAO	76	BR MIRANDA	101	BR FOZ R. CLARO
2	UY Bonete	27	BR CORUMBA III	52	BR G. B. MUNHOZ	77	BR CAPIM BRANC1	102	BR-PY ITAPIU
3	UY Palmar	28	BR EMBORCACAO	53	BR SEGREDO	78	BR CORUMBA I	103	BR MANSO
4	UY-AG Salto Grande	29	BR NOVA PONTE	54	BR SLT SANTIAGO	79	BR FUNIL-GRANDE	104	BR PONTE PEDRA
5	AG Alicurá	30	BR CAPIM BRANC2	55	BR SALTO OSORIO	80	BR BARRA GRANDE	105	BR OLHO DAGUA
6	AG Chocón	31	BR ITUMBIARA	56	BR SAO JOAO	81	BR CAMPOS NOVOS	106	BR QUEBRA QUEIX
7	AG Condor Cliff	32	BR CACH.DOURADA	57	BR BAIXO IGUACU	82	BR MACHADINHO	107	BR ITUMIRIM
8	AG Futeleufú	33	BR SAO SIMAO	58	BR CACHOEIRINHA	83	BR MONJOLINHO	108	BR SALTO
9	AG Planicie Banderita	34	BR I. SOLTEIRA	59	BR PAI QUERE	84	BR SALTO CAXIAS	109	BR JAURU
10	AG-PY Yacyretá	35	BR A.A. LAYDNER	60	BR SAO ROQUE	85	BR BARRA BONITA	110	BR ITAGUACU
11	BR CAMARGOS	36	BR PIRAJU	61	BR GARIBALDI	86	BR A.S. LIMA	111	PY YGUAZU
12	BR ITUTINGA	37	BR CHAVANTES	62	BR ITA	87	BR IBITINGA	112	PY Acaray
13	BR FURNAS	38	BR L.N. GARCEZ	63	BR PASSO FUNDO	88	BR PROMISSAO		
14	BR M. DE MORAES	39	BR CANOAS II	64	BR FOZ CHAPECO	89	BR SLT VERDINHO		
15	BR ESTREITO	40	BR CANOAS I	65	BR ESPORA	90	BR NAVANHANDAVA		
16	BR JAGUARA	41	BR STA BRANCA T	66	BR SAO JOSE	91	BR TRES IRMAOS		
17	BR IGARAPAVA	42	BR TIBAGI MONT	67	BR PASSO S JOAO	92	BR I. SOLT. EQV		
18	BR VOLTA GRANDE	43	BR MAUÁ	68	BR TRAICAO	93	BR JUPIA		
19	BR P. COLOMBIA	44	BR SAO JERONIMO	69	BR PEDREIRA	94	BR P. PRIMAVERA		
20	BR CACONDE	45	BR CAPIVARA	70	BR GUARAPIRANGA	95	BR CACU		
21	BR E. DA CUNHA	46	BR TAQUARUCU	71	BR BILLINGS	96	BR B. COQUEIROS		
22	BR A.S.OLIVEIRA	47	BR ROSANA	72	BR SAO DOMINGOS	97	BR OURINHOS		
23	BR MARIMBONDO	48	BR S GDE CHOPIM	73	BR PONTE NOVA	98	BR SERRA FACAO		
24	BR A. VERMELHA	49	BR STA CLARA PR	74	BR EDGARD SOUZA	99	BR ITIQUIRA II		
25	BR BOCAINA	50	BR FUNDAO	75	BR CORUMBA IV	100	BR ITIQUIRA I		

# Variables de estado consideradas

1	AR_hid_ALI_Vol	21	BR_hid_CORUMBA_III_Vol	41	BR_hid_MACHADINHO_Vol	61	BR_hid_SAO_SIMAO_Vol
2	AR_hid_CHO_Vol	22	BR_hid_CORUMBA_IV_Vol	42	BR_hid_MANSO_Vol	62	BR_hid_SEGREDO_Vol
3	AR_hid_PBA_Vol	23	BR_hid_CURUA-UNA_Vol	43	BR_hid_MARIMBONDO_Vol	63	BR_hid_SERRA_FACAO_Vol
4	AR_hid_PIE_Vol	24	BR_hid_EMBORCACAO_Vol	44	BR_hid_MAUA_Vol	64	BR_hid_SERRA_MESA_Vol
5	BR_hid_A.A._LAYDNER_Vol	25	BR_hid_ERNESTINA_Vol	45	BR_hid_MIRANDA_Vol	65	BR_hid_SINOP_Vol
6	BR_hid_A._VERMELHA_Vol	26	BR_hid_ESPORA_Vol	46	BR_hid_NOVA_PONTE_Vol	66	BR_hid_SLT.SANTIAGO_Vol
7	BR_hid_B._ESPERANCA_Vol	27	BR_hid_FUNIL_Vol	47	BR_hid_P._CAVALO_Vol	67	BR_hid_SOBRADINHO_Vol
8	BR_hid_BALBINA_Vol	28	BR_hid_FURNAS_Vol	48	BR_hid_P._ESTRELA_Vol	68	BR_hid_STA_CLARA_PR_Vol
9	BR_hid_BARRA_BONITA_Vol	29	BR_hid_G.B._MUNHOZ_Vol	49	BR_hid_PARAIBUNA_Vol	69	BR_hid_TRES_IRMAOS_Vol
10	BR_hid_BARRA_GRANDE_Vol	30	BR_hid_G.P._SOUZA_Vol	50	BR_hid_PASSO_FUNDO_Vol	70	BR_hid_TRES_MARIAS_Vol
11	BR_hid_BATALHA_Vol	31	BR_hid GARIBALDI_Vol	51	BR_hid_PASSO_REAL_Vol	71	BR_hid_TUCURUI_Vol
12	BR_hid_BILLINGS_Vol	32	BR_hid_GUARAPIRANGA_Vol	52	BR_hid_PEIXE_ANGIC_Vol	72	PY_hid_Yguazú_Vol
13	BR_hid_CACONDE_Vol	33	BR_hid_I._SOLTEIRA_Vol	53	BR_hid_PROMISSAO_Vol	73	UY_hid_Bonete_Vol
14	BR_hid_CACU_Vol	34	BR_hid_IRAPE_Vol	54	BR_hid_QUEBRA_QUEIX_Vol	74	UY_hid_Palmar_Vol
15	BR_hid_CAMARGOS_Vol	35	BR_hid_ITAPARICA_Vol	55	BR_hid_QUEIMADO_Vol	75	UY_hid_SaltoGrande_CTM50_Vol
16	BR_hid_CAMPOS_NOVOS_Vol	36	BR_hid_ITUMBIARA_Vol	56	BR_hid_RETIRO_BAIXO_Vol	76	iN34
17	BR_hid_CAPIM_BRANC1_Vol	37	BR_hid_JAGUARI_Vol	57	BR_hid_RONDON_II_Vol		
18	BR_hid_CAPIVARA_Vol	38	BR_hid_JORDAO_Vol	58	BR_hid_SAMUEL_Vol		
19	BR_hid_CHAVANTES_Vol	39	BR_hid_LAJES_Vol	59	BR_hid_SANTA_BRANCA_Vol		
20	BR_hid_CORUMBA_I_Vol	40	BR_hid_M._DE_MORAES_Vol	60	BR_hid_SAO_ROQUE_Vol		

# Temperatura radiación solar y velocidad de viento (CEGH)

Se construyó CEGH en base a series de re-análisis en 27 puntos distribuidos entre los cuatro países.

Las series fueron bajadas del sitio:

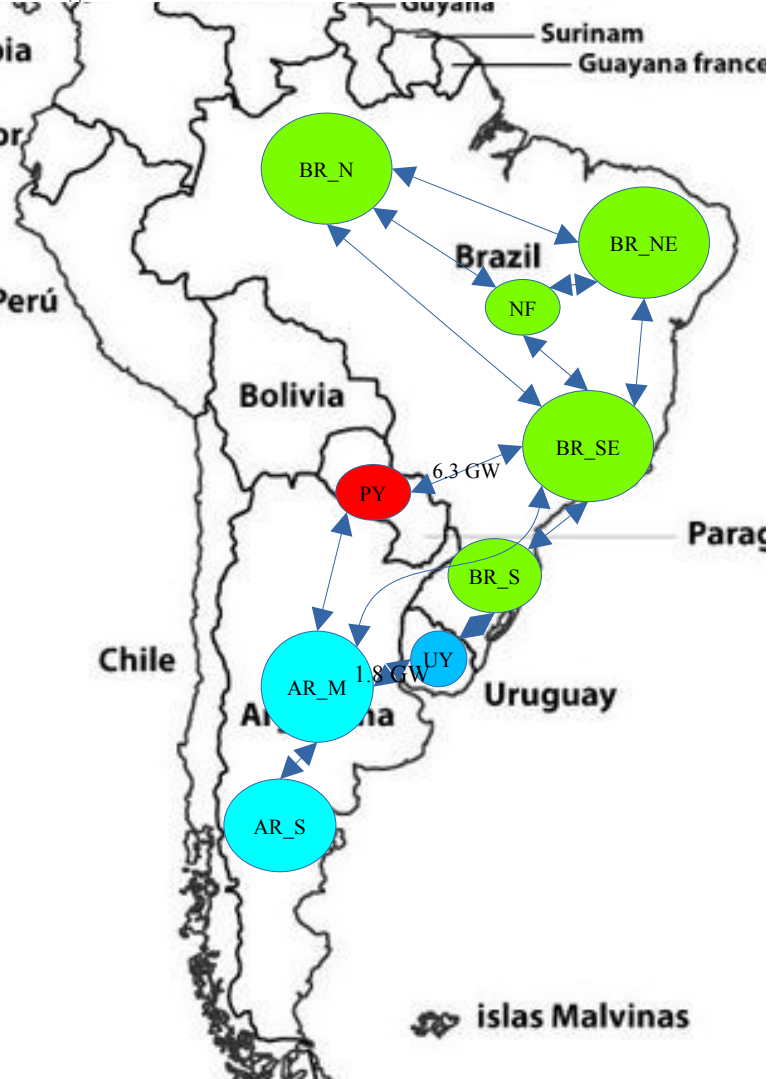
<https://cds.climate.copernicus.eu>

Las centrales térmicas se agruparon por costo variable y flexibilidad

CV000 = Autodespachadas, biomasa, co-generación. (en la base)

CV060 = Ciclos combinados y centrales nucleares y de carbón (despacho diario)

CV150 = Turbinas de Ciclo Abierto - Moto-Generadores (despacho flexible)



# Simulación UY+BR+PY+AG

variables de estado: 76

discretización del espacio de estado:

$$52 * 3 * 5^{76} = 2 \times 10^{55}$$

**Recursión de Bellman** memoria:

$$2 * 10^{55} * 10 / 1E9 = 2 * 10^{47} \text{GB}$$

Dimensión Simplex sobre: 5000x2000

Tiempo de resolución Simplex: 64 ms

hora de resolver la recursión de Bellman:

$$2 * 10^{55} * 64 / 1000 / 3600 / 24 / 365 / 1000 \\ = 4 * 10^{43} \text{ milenios!!!!}$$

# Algunos resultados

Tiempo de aprendizaje 200 iterations: 80 horas <<<<  $4*10^{43}$  millenios!!!!

2030 Costo Marginales [US\$/MWh]:

	h00h06	h06h12	h12h18	h18h26	Daily
AR_ComPat	40.1	40.1	40.2	40.6	40.3
AR_Mer	41.0	40.9	41.0	41.4	41.1
BR_N	17.1	17.2	17.8	21.5	18.4
BR_NE	15.9	16.0	16.6	20.3	17.2
BR_NO	16.9	16.9	17.6	21.2	18.2
BR_S	17.2	17.2	17.9	21.7	18.5
BR_SE	17.0	17.1	17.7	21.5	18.3
PY	17.4	17.4	18.1	21.9	18.7
UY	46.8	48.0	48.4	50.5	48.4

# Algunos resultados

	US\$/MWh	TWh	TWh	TWh	TWh	TWh	TWh	TWh	TWh	TWh	TWh	TWh	TWh
	Costo Marginal	Demanda	Expor-tación	Exce-dentes	Pérdidas	Hidro	Eolica	Solar	TCV000	TCV060	TCV150	Imp	
Argentina	39	158	0.82	0.00	1.33	40.38	22.47	6.50	3.32	77.06	0.00	10.05	
Brasil	15	818	0.88	26.17	2.34	544.93	110.09	56.92	115.68	5.33	2.14	12.36	
Paraguay	16	37	21.19	0.00	0.71	58.89	0.00	0.00	0.00	0.00	0.00	0.00	
Uruguay	48	13	0.18	1.21	0.01	5.77	5.07	0.73	2.62	0.00	0.00	0.66	

	US\$/MWh	TWh	%Dem	%Dem	%Dem	%Dem	%Dem	%Dem	%Dem	%Dem	%Dem	%Dem	%Dem
	Costo Marginal	Demanda	Expor-tación	Exce-dentes	Pérdidas	Hidro	Eolica	Solar	TCV000	TCV060	TCV150	Imp	
Argentina	39	158	0.52%	0.00%	0.84%	25.61%	14.26%	4.12%	2.11%	48.88%	0.00%	6.37%	
Brasil	15	818	0.11%	3.20%	0.29%	66.61%	13.46%	6.96%	14.14%	0.65%	0.26%	1.51%	
Paraguay	16	37	57.27%	0.00%	1.93%	159.20%	0.00%	0.00%	0.00%	0.00%	0.00%	0.00%	
Uruguay	48	13	1.37%	8.95%	0.10%	42.86%	37.68%	5.45%	19.49%	0.00%	0.01%	4.93%	